# 燃煤锅炉燃烧自动调节与功率自动调节

# 上海后方三二五电厂 华东电管局电力试验研究所热工室

# 前 言,

我们 325 厂地处皖南山区,是 1970 年开始基建, 1972 年 6 月正式发电的 三 线 电 厂。 1975年初,周总理根据毛主席指示在四届人大提出了实现四个现代化,在本世纪内把我国建设成为社会主义强国的宏伟目标,我们全厂职工受到极大的鼓舞。锅炉燃烧自动的投入就是在这样形势下开尸起来的。1975年 5 月华东电管局正式指定我厂为燃灶锅炉燃烧自动化试点,给了我们很大促进。在上级领导的关怀下,厂党委的领导下,有华东电管局电力试验研究所、电管局对外组和华东电力设计院等单位参加,实现了工人、干部、技术人员三结合和科研、设计、使用单位三结合,依靠和发动群众,在同年 9 月投入了 2 号炉燃烧自动。 1976年,我厂在电力试验研究所和各兄弟单位的帮助和支援和继续前进,做了大号试验改进工作,并加装了汽轮发电机组功率自动。在同年 7 月将二台锅炉燃烧自动及汽轮发电机组功率自动全部投入并完成了主要改进工作。 1977年在华主席抓纲治国战略决策指引下,又作了改进,使自动得以巩固和提高。

由于我们对热工自动工作缺乏经验,燃烧自动和功率自动投入时间不长,在调节系统结构方面还存在不够完善的地方。随着锅炉设备的改进和运行传况的改变,还要继续改进和提高。

# 一、发电设备概况

我厂安装二台 25000 千瓦中压机组, 第 1 台机组于1971年 6 月投入运行, 第二台于1974年 5 月投运。设备概况如下:

#### (一)设备规范及热力系统

1. 锅炉为灶粉 直吹式汽鼓锅炉。

制 造 厂: 上海锅炉厂 型 号: SG130-39/450-I型,

额 定 容 号: 130吨/时 过热蒸汽压力: 39公斤/厘米2

过热蒸汽温度: 450℃ 给水温度: 170℃

每台锅炉配有风扇式磨灶机四台及离心式送风机二台, 吸风机二台。

2. 汽轮机为中压凝汽式。

制 造 厂: 上海汽轮机厂 型 号: 31-25-7型

额 定 容 号: 25,000千瓦 主蒸汽压力:  $35 + \frac{2}{3}$ 公斤/厘米 $^{2}$ (绝对)

主蒸汽温度: 435 C 排汽压力: 0.06大气压(绝对)

3. 发电机为密闭空气冷却式:

制 造 厂: 上海电机厂 型 号: TQC-2

额定容易: 31250 伏安 额定电压: 6300 伏 额定力率: 0.8

4. 二台机组的热力系统为母管式布置。

二台锅炉的蒸汽送到蒸汽母管,可供1号机或2号机使用。

#### (二)锅炉结构及燃烧室布置

锅炉采用半露天悬吊式结构,锅炉受热百为<u>门型布</u>置,汽包高28米,炉膛截百积为长方形,宽 6.9 米、深 6.6 米,炉膛容积 767.5 米³,锅炉为灶粉 直吹式,无灶粉仓。燃灶 由 灶 仓经落灶管进入给灶机,由给灶机将适当的灶房送入磨灶机。磨灶机为风扇式,在磨灶的同时由一次风将灶粉经粗粉分离口和灶粉管吹送到喷燃口,进入炉膛燃烧。每台磨灶机有二根 灶粉管连通锅炉两对角的喷燃口。锅炉喷燃口为四角布置,位于 9.5 米标高,四角喷燃后在炉膛中心形成一个 校定的切圆燃烧,燃烧口为缝隙式,一次风灶粉喷嘴每只角布置二只,共八只,二次风喷嘴每只角布置三只,共十二只。锅炉风灶系统见图 1-1。

#### (三)设备运行传况

我厂机组发电时并入电网,带基本负荷运行,锅炉层设计烧无烟灶,现烧淮南和淮北灶。经过较长时间运行,证明锅炉对燃料适应良好。机组满负荷运行时,锅炉蒸发身为105~110吨/时。由于电网频率低,为避免汽机断叶片,我厂规定频率低于48.5赫时汽机出力应降低到不超过24,000千瓦。风机运行传况为送风机1台,吸风机2台投入。磨灶机则经常有3台或4台投入运行。这要根据叶轮新旧、灶种和灶湿度等传况而定。由于我厂是灶粉面吹式锅炉,在灶湿或灶中灰分多等传况影响磨灶机出力降低时,锅炉蒸发身也受到影响。

送吸风机用进口导向风门调节风景,特性较一般节流挡板为好,耗电景亦较用节流式挡板调节时为省。图 1-2 中可以看出进口与向风门的特性,即在送风机风门不同开度时的风景。由风门调节特性曲线可以说明,在常用调节范围内调节性能尚好,接近于线性。

磨丸机用圆盘式给丸机来调节进丸房。给丸机有二个调节机构:一个是调节圆盘 刮板(丸房门)开度;一个是调节圆盘转速。平时的调节方式是丸房门开度固定,调节圆盘的转速。给丸机圆盘由一交流感应电动机通过滑差离合田带动,电动机转速为1450转/分,通过滑差离合田后转速可在0—1200转/分范围内调节。因受磨丸机容房限制,实际使用不超过500转/分。为了方便运行人员调节,在1975年已将转速调节范围改为0—500转/分。1976年8月,在西安交通大学师生的帮助下,对圆盘式给丸机的调节特性做了试验,将丸房门分别固定在15%,30%,45%,60%,75%开度,再将滑差离合田轨出转速自150转/分变至200,250,300,400直到500转/分。将各试验点给丸机在一段时间内(约10分钟)送至磨丸机的丸房取出称房,再换标成每小时的丸房,在各试验点绘制好曲线(见图1-3)。从曲线可以看出,在固定丸房门开度时,丸房与转速成线性关系,开度在60%以上时,曲线逐渐弯曲呈饱和现象,在75%开度以上已不使用。

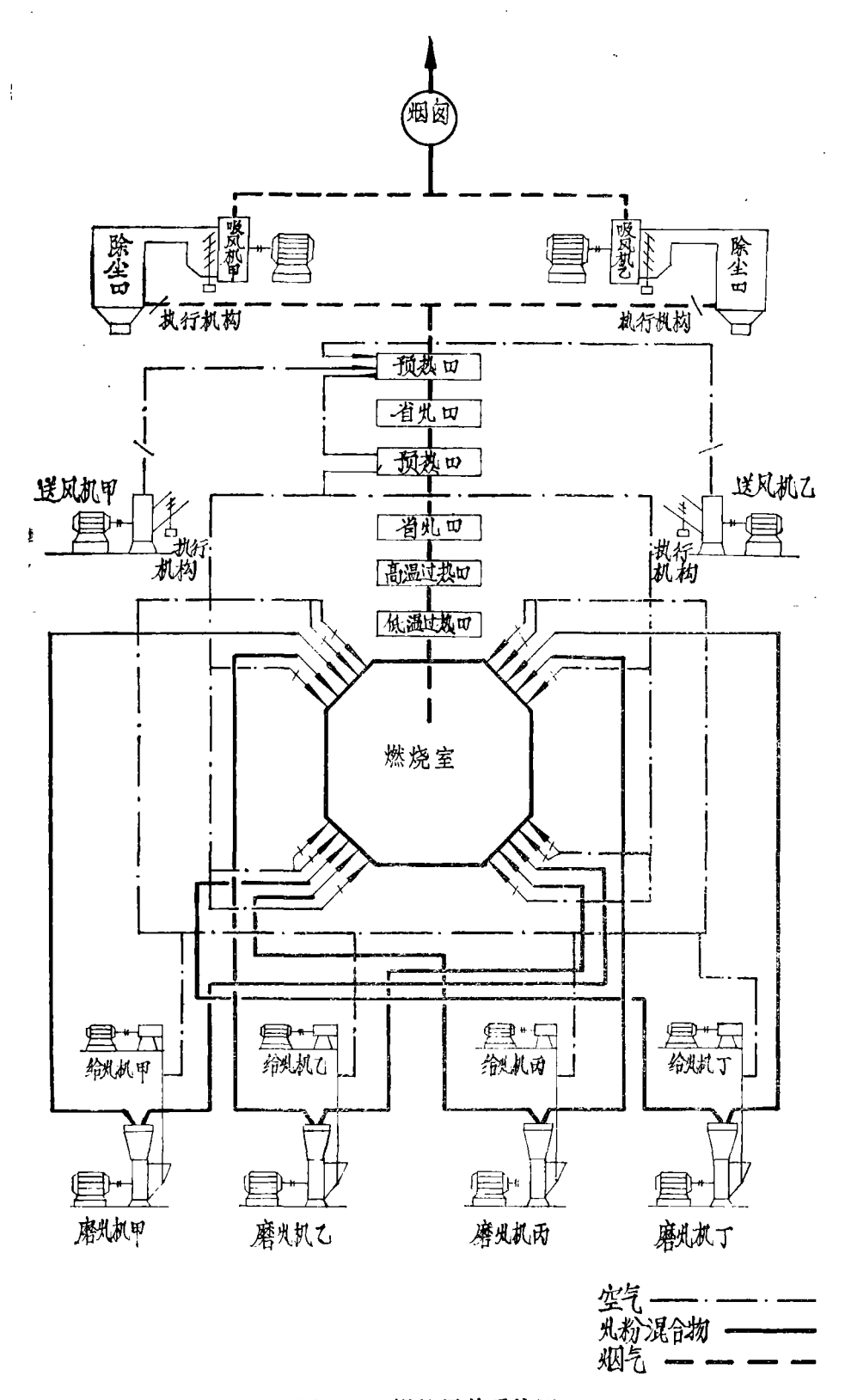


图 1-1 锅炉风灶系统图

锅炉安装设计时,自动调节设备采用 DDZ- I型电动单元组合调节仪表。有汽鼓水位、蒸汽温度及燃烧自动(包括蒸汽压力、送风易及炉膛负压)三个调节系统。当时 DDZ- I型调节仪表品种不全,因此 1号炉差压变送口及电动执行机构等采用了 DDZ- I型。锅炉投入运行正常后,首先投入了汽鼓水位自动调节系统,由于给水调节阀结构不合理,调节特性不好,故障多,在1972年作了四次改进,取得了较好效果,投运后使用传况良好。蒸汽温度自动调节系统由于锅炉投入运行后汽温一直偏低,很少使用减温水,尚未投入运行。对减温水调节阀已作了二次改进。

燃烧自动调节系统设备不够完善,过去曾做过一次试验。1975年5月电管局指定我厂为 燃灶锅炉燃烧自动试点后,我厂即组织了力景做了设备的改进、调整、投入试验等工作。现在 燃烧自动已投入使用了二年左右,对安全经济运行起了良好作用。

我厂发电机组平时带基本负荷运行,因此发电机组的出力变化大部分由电网频率变化引起,电网频率升高时,汽机调速系统关小调节汽门,减低负荷。频率降低时,增加负荷。这会引起汽轮发电机组出力降低或过负荷。在这种情况下,运行人员要及时调节汽机同步口保持负荷为额定值,这种变化比较频繁,数值亦较大,会引起母管压力波动。为了保持汽轮发电机组的校定运行,减少母管压力波动,在1976年,加装了功率自动控制。当时这种调节系统尚无现成的配套设备,我厂是利用 DDZ- I型仪表及 FS 系列仪表加以改装后再连接成调节系统的。投入后能保持发电机功率在额定±300 千瓦范围内,使外扰减小,母管应力保持校定,从而保证安全经济发电。

#### (四)调节系统改进

投入自动调节装置为了保证机组安全经济运行,因此首先要提高自动调节系统本身的可 靠性,并改善调节质景,提高经济性。因此在投入自动过程中对调节系统作了如下改进。

- 2. 在给灶、风景、负压及功率自动调节系统中均加装了限幅报警及参数保护装置。限幅报警的作用是限制调节口的轨出在一定范围内,防止执行机构开足或关煞,造成异常运行。例如,给灶机转速过高给灶景过大要造成磨灶机堵塞,给灶房过小,会造成锅炉熄火;送风房或吸风景过大或过小也会造成熄火,此外汽机功率不允许大幅度波动,因此都需要加装限幅口。参数保护的作用是当被调参数变化超出规定范围时,使调节系统退出自动,这样参数偏差不致过大;但当向缩小偏差方向动作时,自动调节仍能起作用。例如,炉膛负压,当超出土10毫米 东柱时,参数保护即动作、报警,并使负压调节系统出系,待引起扰动后因消除后,即可恢复正常,如外期内不能消除,则由运行人员切换到手操。在风房调节系统中,装有氧 景参数保护。我厂限幅报警回为 DFF-01 型,参数保护用 DXB-113 双针指示报警表。
- 3. 加装了功率自动调节系统后,保证了功率较定,汽轮发电机组功率由定 值 田 来 改 变。定值口的位号还同时经过加法口、微分口加到锅炉主调节口,作为前馈位号。这样在改变汽轮发电机功率的同时改变锅炉给灶房,其作用相当于减小给灶延时,可以减小母管压力波动。
- 4. 风景投入自动后,由于 处种变化及利用预热口进出口压差测 房的风景不够准确,因此风处比不易保持适当。1976年安装了氧化锆氧 景表,测 景烟气含氧 男,并采用氧 男信号作为风景调节的校正信号。氧化锆测 男氧 景时, 轨出信号 是毫伏。 毫伏数 与烟气、空气中的氧

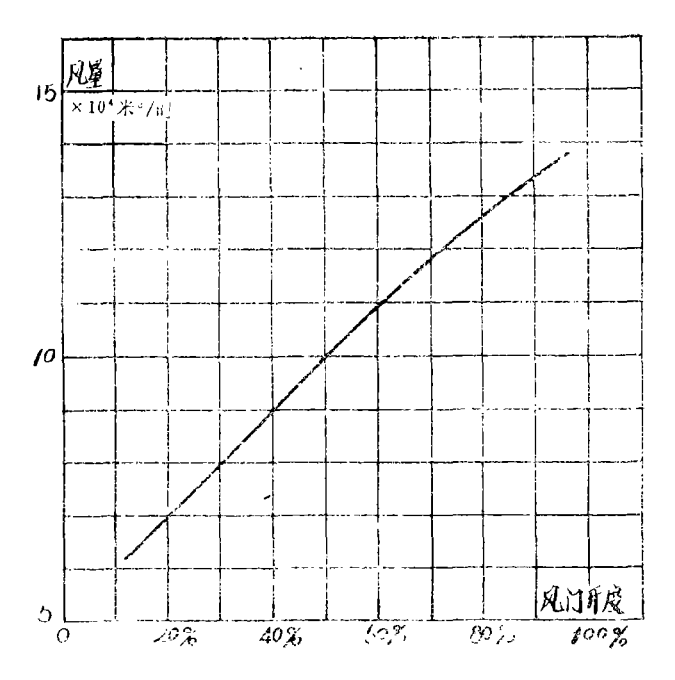


图 1-2 送风机风门调节特性(单风机运行)

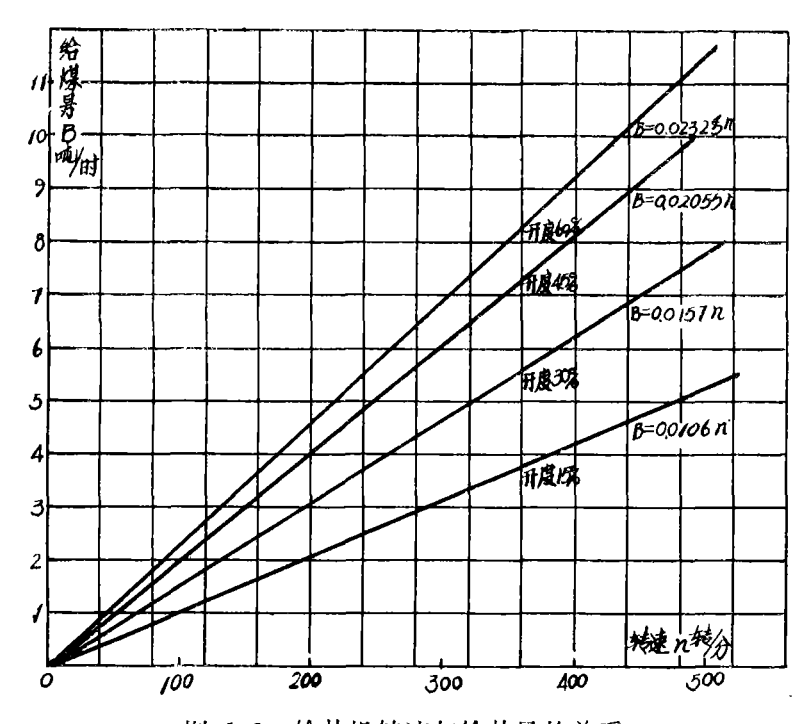


图 1-3 给灶机转速与给灶房的关系

**景差有关:烟气中含氧小时,与空气的氧景差大,氧化锆轨出的毫伏大;烟气中含氧异大时, 執出毫伏小。毫伏与氧**另是非线性关系,在低氧另时刻度宽。我厂氧化锆元件为直插式,1号 炉装在低温过热田出口,烟温约750℃,2号炉装在过热田出口烟辺,烟温约600℃。由于氧

化锆测氧另反应快,可靠性高,投入自动后能及时调正风房保持氧号在指定值。

5. 加装了给灶机转速及送、吸风机进口导向风门开度的自动跟踪线路,使调节田轨出 跟踪有关执行机构操作电流,以便运行人员随时投入自动。

# 二、锅炉燃烧自动调节系统

#### (一)调节系统概述

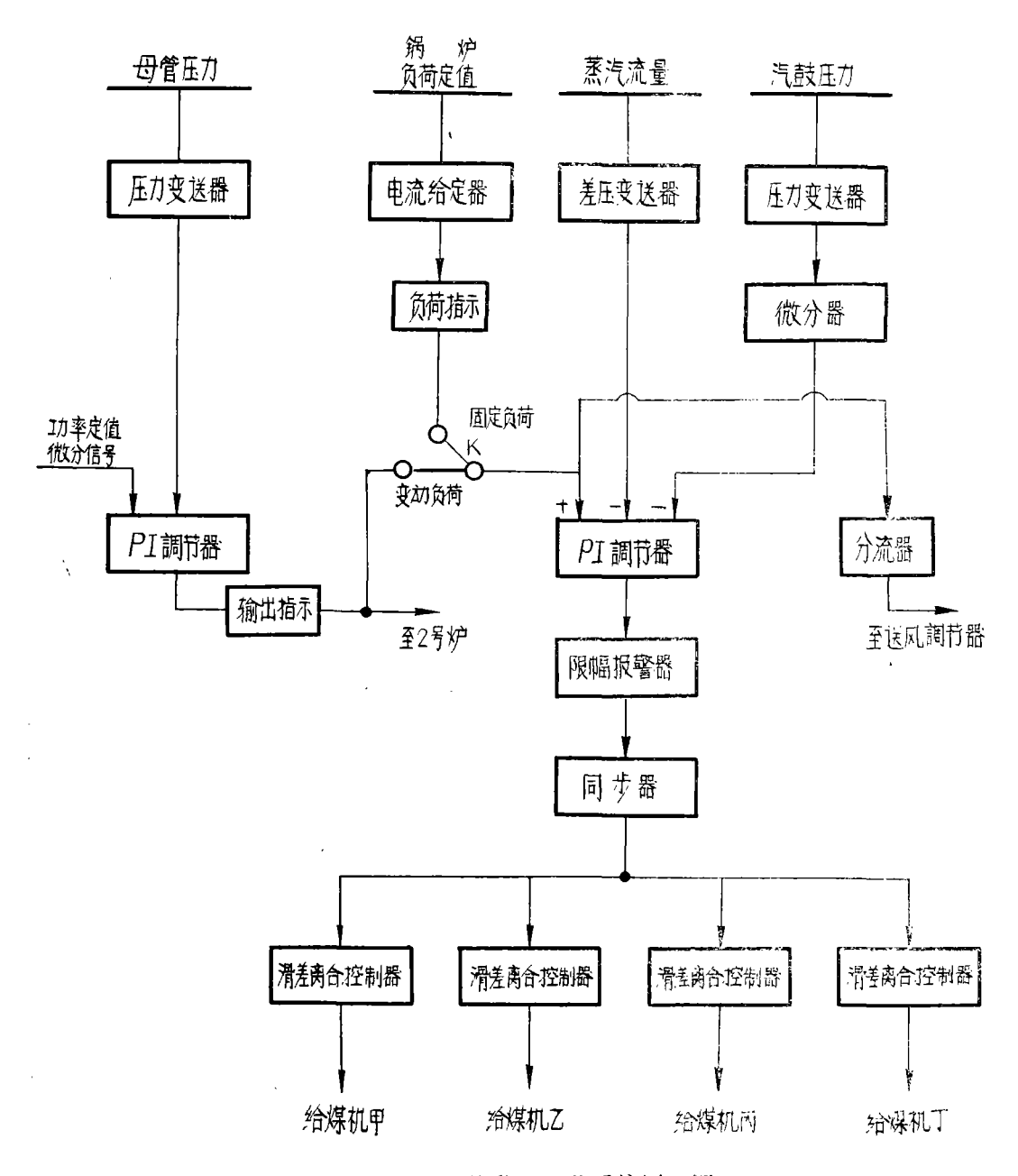


图 2-1 锅炉热负荷调节系统后理图

锅炉燃烧自动调节系统包括汽压(热负荷)、风景及炉膛负压三个系统。汽压自动调节的任务是根据蒸汽压力的高低,变动给灶景以保持母管压力,使锅炉蒸发景适应汽轮机组需要,送风调节系统则应根据锅炉出力或燃灶景,调节送风机进口风门,使风景适应燃烧需要,保证经济燃烧,在送风机风门动作时,炉膛负压调节系统同时动作引风机风门,保证炉膛负压为额定值。三个系统必须动作协调才能保证锅炉的安全经济运行。

我厂二台机组发电时并列作母管制运行。但在一台机组检多或燃灶供应不足时仅一台机组运行,近似为单元制。汽压自动为带母管压力校正的串级调节系统。因为我厂二台锅炉的控制室距离较远,考虑到一台炉运行时的安全与方便,在二台炉表盘上均装有压力调节口。在二台炉同时投入燃烧自动时合用一台调节口,而在一台炉投入自动时则用锅炉备用的调节口。

我厂锅炉是灶粉面吹式,这种锅炉在给灶扰动下,蒸汽压力的延滞比较大,因为给灶身变化后需经过磨灶机磨成粉再进入炉膛。为了使压力调节系统的反应要快,我们采用了"热 号——燃料"和"给定负荷——空气"系统。经过一段时间运行观察,压力波动约为±0.5公斤/厘米²,尚在允许范围内,而在手动调节时,压力波动约为±1公斤/厘米²。在外部 扰动时锅炉压力波动较中间储粉仓式为大。

我厂锅炉热工自动控制设计时采用 DDZ- I型, 在第一台机组安装时 DDZ- I型仪表品种尚不齐全, 几经多改在1976年已将送吸风机导向风门电动执行机构改装成 DDZ- I型。第二台机组电动执行机构经过几次调查改进, 现在换用了1975年产品。同时换装了DFD-07型操作口, 使用操作口的上下限作为风门执行机构的限位口。经过一段时间的运行这种操作口尚比较可靠。DTL-130型 PI调节口尚能使用, 但积分时间可调范围小, 轨入微分信号时需另装微分口。为了便于整定, 有部分调节口已改用 DTL-331型。

燃烧自动调节系统压力、差压变送口的规范如下表:

设备名称	型号	测房范围	房 程	斜	率	限幅报警范围
母管压力变送口	DBY- I	25~45 公斤/厘米 <sup>2</sup>	20 公斤/厘米²	γ = 0.5 毫 公斤/厘	<u>安</u> 【米 <sup>2</sup>	
汽包压力变送口	DBY- I	30~50 公斤/厘米 <sup>2</sup>	20 公斤/厘米²	γ = 0.5 毫 公斤/厘		
蒸汽流昘变送口	DBC- I	0~160 吨/时	160 吨/时	γ = 0.09 毫 吨/时		
风景变送口	DBC- I	0~200 毫米水柱	200 毫米水柱	γ = 0.05 毫 毫米水		上限7毫安 下限2毫安
氧男(O <sub>2</sub> )毫伏 变送口	DBW- I	0~100 毫伏	10% O <sub>2</sub>	γ=0.5毫安/	%O <sub>2</sub>	
负压变送口	DBC- I	0~80 毫米水柱	80毫米水柱 (工40毫米水柱)	γ = 0.125 毫 毫米水		上限5毫安 下限2毫安

#### (二)主压力调节系统和热负荷调节系统

主压力调节系统和热负荷调节系统组成一串级调节系统,其调节系统后理图如图 2-1 所示。它以反映锅炉与汽机间能导平衡关系的母管压力 P<sub>M</sub> 为主信号,经压力变送口送到主 压力调节口,并与其内部定值比较后轨出一电流信号 I<sub>王</sub>|同时送到热负荷调节器和送风调节口。当汽机侧负荷变化时,母管压力 P<sub>M</sub> 变化,主压力调节口轨出电流 I<sub>王</sub>也变化,通过热负荷调节系统和送风调节系统去改变进入炉膛的燃料号和风号,使锅炉蒸汽流号适应汽机负荷变化需要,以保持母管压力 P<sub>M</sub> 为额定值。热负荷调节口接受主压力调节口轨出信号 I<sub>王</sub> (带调节负荷)或固定负荷定值口定值信号 I<sub>固</sub> (带固定负荷)与蒸汽流号变送口轨出的蒸汽流 另 信号 D加上汽鼓压力变送口及微分口轨出的汽鼓压力微分信号 dp<sub>b</sub> 所组成的热号信号 D<sub>c</sub>,上

述二个信号在热负荷调节口中比较后轨出一定信号电流,经同步口 ZLT 和滑差离合 控制口 ZLK-5 去改变各台圆盘给灶机转速。这样进入炉膛的灶粉景也发生相应变化,使锅炉 蒸 汽 流 易信号等于主压力调节口或固定负荷定值口所轨出信号(静态时热易信号等于蒸汽流易信号 D),也就是根据负荷需要要求该台锅炉所供应的蒸汽流易。这种调节系统也称为以母管压力 P<sub>M</sub> 为主信号的"热另——燃料"调节系统。

## 1. 对象动态特性

锅炉的生产过程是十分复杂的,而燃烧调节系统又是锅炉设备中最复杂的一个调节系统。 为了要实现上述对锅炉燃烧调节系统的要求,了解调节对象动态特性,以便掌握复杂调节对象之间关系,对设计合理的调节系统是一个很重要手段。即使是在已定的燃烧调节系统传况下,为了较快地将自动调节系统投入使用,并保证在安全可靠和校定条件下运行,也要根据对象动态特性来估算调节口的有关参数,以得到较好的调节过程,并且还可以对已定的调节系统提出改进方向,以便进一步提高调节品质。当然调节过程品质好坏,还取决于主设备状态和调节机构等一些问题,但是应该说设计合理的调节系统和正确选择调节口的有关参数,也是一个十分重要的因素。

对象动态特性可以根据锅炉结构和物理特性,应用数学方法来进行计称,但由于锅炉设备是一个复杂对象,其过渡过程的许多物理参数都是非线性的。在应用数学方法分析时还要加上一些假定,因此用这种方法所得出的对象动态特性往往会与实际情况有很大出入,所以目前在热工自动调节方百大都采用现场试验方法来求取对象动态特性。但是尽管如此,还是可以根据一些简单试验,应用数学方法加上一些理想的假定得到并不严格的对象动态特性,为在现场用试验方法来求取对象动态特性作一些定性指导,仍有着实际意义。

用现场试验方法求取对象动态特性目前一般仍采用阶跃扰动试验方法。在不影响机组安全运行的前提下,扰动身尽身取大一些,以便减少随机干扰的影响。由于调节对象的非线性,有必要在机组不同负荷传况下进行试验,以求取其平均值。现场试验采用上海自动化仪表二厂生产的二笔记录仪和上海电工仪口研究所生产的三笔记录仪作为记录表计,记录纸走纸速度为 10 营米/30~40秒,在试验中对某些身程较大的参数进行了身程压缩。

为了以后调节口参数计标的方便,避免单位换标错误,所以试验时一般都以调节口轨出电流 I调 来作为扰动量。这时要求小回路投入自动,如实际中有困难时,可以将扰动量换 标为相当于调节口轨出电流 I调、轨出量为调节对象变送口轨出电流 I出。把磁放大口到变送口

(包括对象在内)作为整个对象来考虑,这样扰动量和被调量变化量,都以毫安单位表示。

- (1)内批对象动态特性
- ① 汽机同步口开度 µ 下不变, 灶景扰动。

改变给灶机转速作为灶景扰动,给灶机转速斜率 $\gamma_n = \frac{10毫安}{500转/分} = 0.02毫安/转/分。因为灶房不仅同给灶机转速有关,还与给灶机灶界门开度有关,在试验时必须固定给灶房门开度(在平时运行位置)不变。扰动景以毫安来表示。$ 

二机二炉运行时所得内扰对象特性曲线如图 2-2 所示。

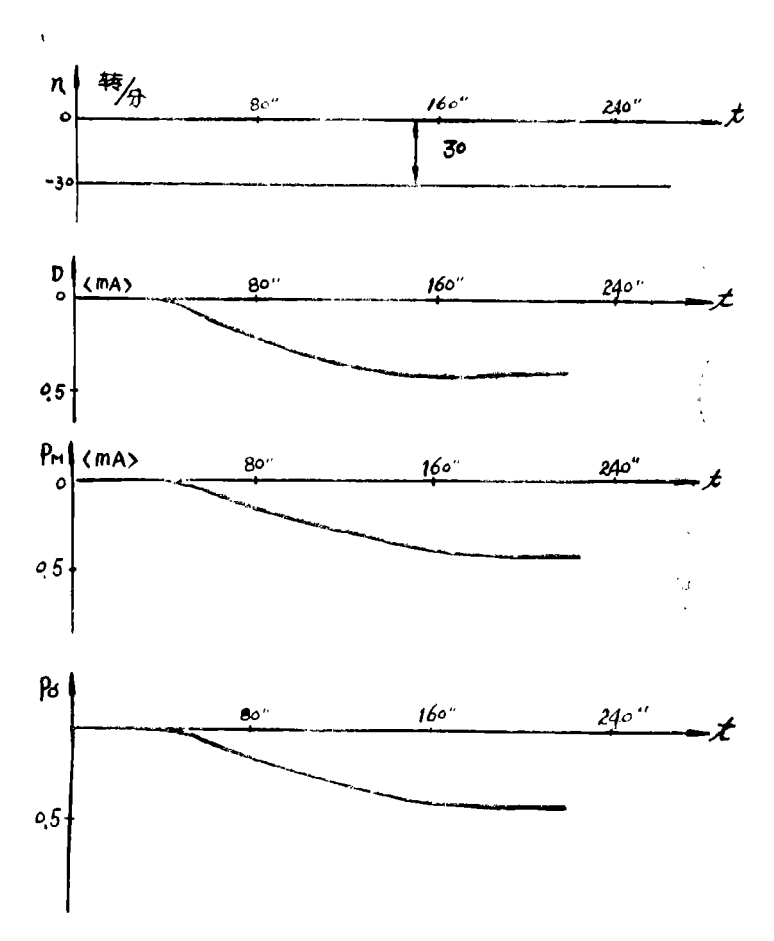


图 2-2 对象反应曲线(手操给灶)

用切线法(见本刊1974年第9期)求得传递函数。

$$W_{D}(P) = \frac{\Delta D}{\Delta B} = \frac{1}{(1+40p)^{2}} e^{-30p}$$
 毫安/毫安 
$$W_{D\delta}(P) = \frac{\Delta P_{\delta}}{\Delta B} = \frac{1.1}{(1+50p)^{2}} e^{-30p}$$
 毫安/毫安

$$W_{p_M}(P) = \frac{\Delta P_M}{\Delta B} = -\frac{0.7}{1+160p} - e^{-30p}$$
 毫安/毫安

# ② 汽机负荷 D 不变, 灶景扰动。

汽机功率自动调节系统投入使用,保持发电机功率不变, 灶房 B扰动时得出对象动态特性如图 2—3。二机二炉运行的灶房扰动试验没有做。

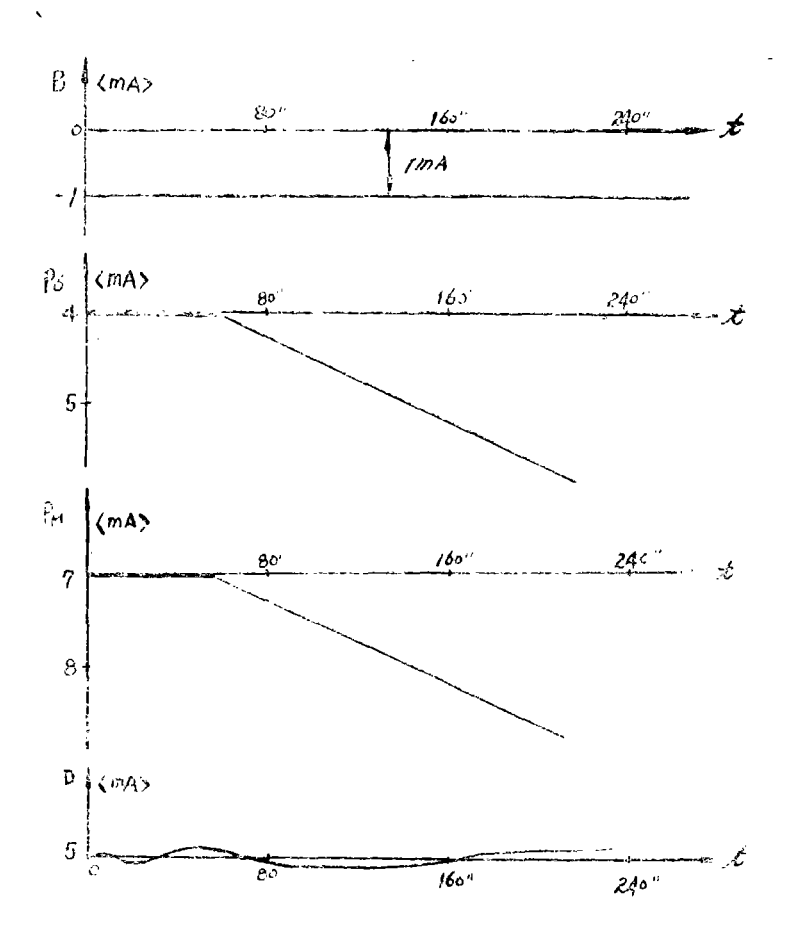


图 2-3 母管压力飞升曲线(炉1灶身扰动)

从图 2-3 中曲线求得传递函数为:

$$W_{p_{\delta}}(P) = \frac{\Delta P_{b}}{\Delta B} = \frac{1}{90p} e^{-60p}$$
 毫安/毫安  $W_{p_{M}}(P) = \frac{\Delta P_{M}}{\Delta B} = \frac{1}{90p} e^{-60p}$  毫安/毫安

# (2)外扰对象动态特性

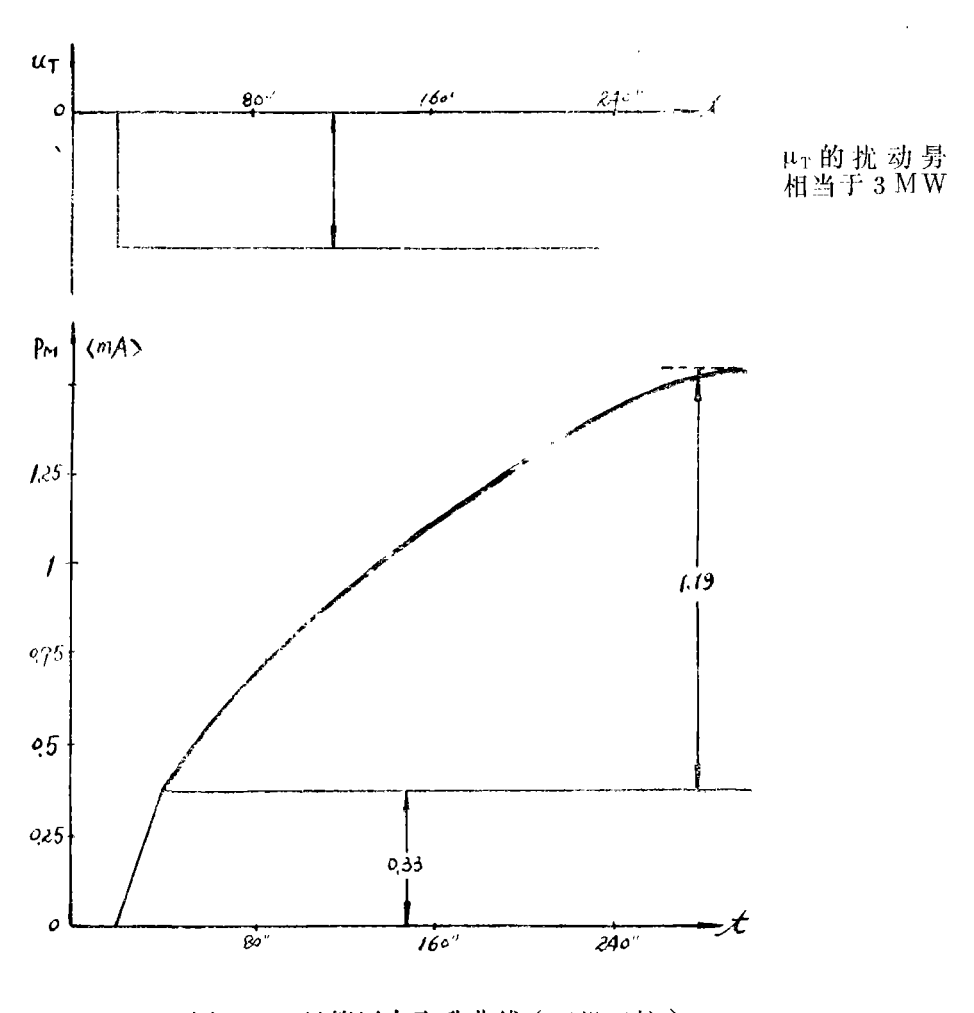


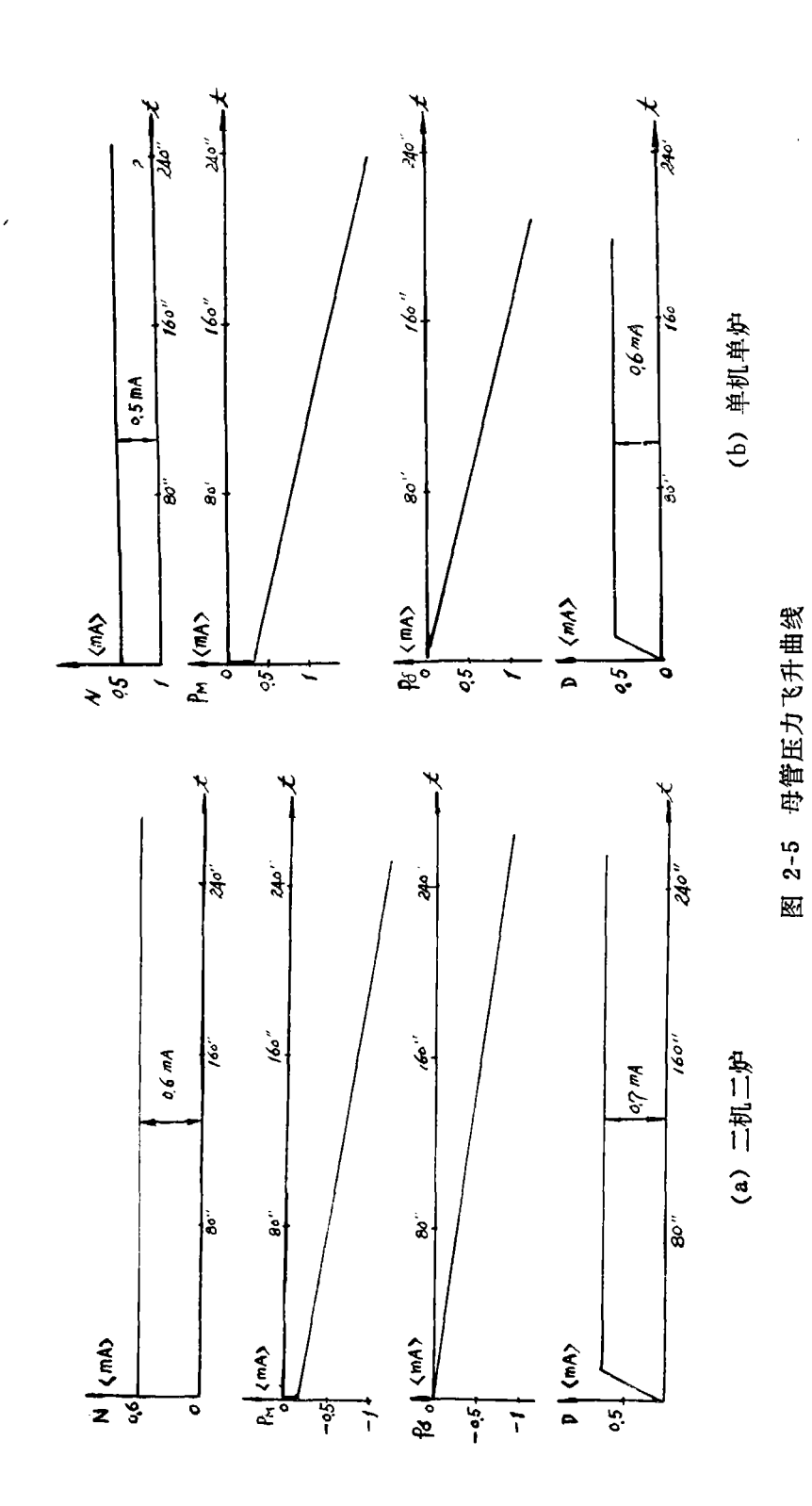
图 2-4 母管压力飞升曲线(二机二炉)

由图 2-5 求得传递函数为:

$$W_{p_M}(P) = \frac{\Delta P_M}{\Delta \mu_T} = -0.11 (1 + \frac{3.6}{1 + 150p})$$
 毫安/兆瓦

# ② 灶身不变, 汽机负荷 D扰动

汽机功率调节系统投入自动,试验时,锅炉保持灶房不变,突然改变一台汽机功率定值 口定值,得到对象动态特性曲线如图 2-5。



<del>- 12 -</del>

二机二炉时

$$Wp_{h}(P) = \frac{\Delta P_{h}}{\Delta N} = -\frac{1}{170p}$$
 **密安/毫安**・砂 
$$Wp_{M}(P) = \frac{\Delta P_{M}}{\Delta N} = -\left(0.30 + \frac{1}{170p}\right)$$
 毫安/毫安

单机单炉时

$$W_{p}(P) = \frac{\Delta D}{\Delta N} = 1.2$$
 毫安/毫安 
$$W_{p_{\delta}}(P) = \frac{\Delta P_{\delta}}{\Delta N} = -\frac{1}{84p}$$
 毫安/毫安・秒

$$Wp_H(P) = \frac{\Delta P_m}{\Delta N} = -(0.6 + \frac{1}{84p})$$
 毫安/毫安

从以上试验结果来看,实际灶身 B 扰动到热身  $D_Q$  变化反应的延迟时 间 是  $40\sim60$  秒,其中炉膛中灶粉燃烧到产生假想蒸汽流身  $D_Q$  的迟延时间  $\tau_2$  一般在  $20\sim30$  秒左右,这样 从给灶机转速改变到灶粉进入炉膛燃烧的迟延时间约  $\tau_1$  约20~30 秒。由于迟延时间  $\tau_1$ 还不添太长,所以对调节系统没有进一步采取改进措施,以改善对象动态特性。尽管迟延时间  $\tau_1$ 不 添长,但对母管压力  $P_M$  的调节过程仍有一定影响。为提高调节质男,在汽机侧加了功率 调节系统,并在锅炉燃烧调节系统中加入功率前馈调节。

# 2. 主压力调节系统和热负荷调节系统的整定层则

主压力调节系统与热负荷调节系统组成一个串级调节系统,其调节系统方框图示于图 2-6。

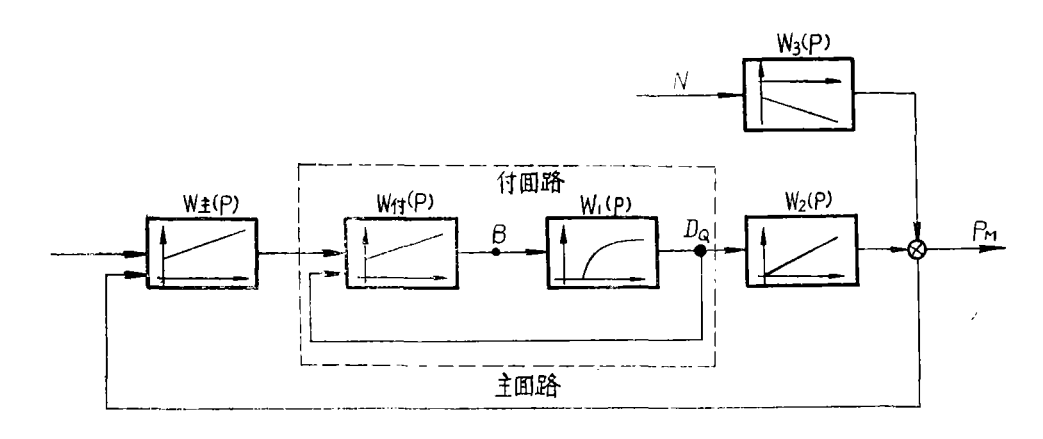


图 2-6 主压力调节系统和热负荷调节系统方框图

串级调节系统一般由二个回路组成。一个是由主压力调节口、热负荷调节系统 和 对 象 W<sub>2</sub>(P)组成的回路, 称为主回路(大回路), 主压力调节口称为主调节口, 它本身不带执行

机构,而是通过付回路来进行调节,另一个是由热负荷调节口、执行机构(图中未画出)和对象  $W_1(P)$ 组成的回路,称为付回路(小回路),热负荷调节口称为付调节器。这二个 回路的作用是不同的。主回路是一个定值系统,它根据汽机负荷的变化来改变付回路的定值,迅速改变锅炉蒸发房,适应汽机负荷变化需要以保持母管压力  $P_M$  不 变。付回路是一个随动系统,它根据主调节口来的定值信号迅速改变灶房,使热房信号  $D_Q$  等于主调节口来的定值信号。付回路还须克服灶房、灶种变化引起的内部扰动,以秋定锅炉热负荷。所以串级调节系统是一个双参数、双回路的复杂调节系统,整定比较麻烦,但可以通过对调节系统的分析,将整定工作简化。

付回路的目的是为了减少内扰对被调**另**(母管压力  $P_M$ )的影响,改善调节对象动态特性,从而提高调节过程的调节品质。如果没有热负荷调节系统这个付回路,则调节系统就变成单参数单回路调节系统。调节对象  $W_0(P)$ 的动态特性为:

$$W_{0}(P) = \frac{\Delta P_{M}}{\Delta B} = W_{1}(P) \cdot W_{2}(P) = \frac{K}{1 + TP} e^{-\tau p} \qquad (\mu_{T} \pi \overline{\phi})$$

$$\Psi_0$$
 (P) =  $\frac{\Delta P_M}{\Delta B}$  =  $\Psi_1$ (P) •  $\Psi_2$ (P) =  $\frac{\epsilon}{P}$  =  $e^{-\tau p}$  (D 不变)

是一个具有迟延的一阶惯性环节或积分环节。

如果有热负荷调节系统这个付回路,而热负荷调节口的参数整定得使付回路的传递函数 为:

$$W_{ff}(P) = \frac{W_{pff}(P) \cdot W_{I}(P)}{1 + W_{pff}(P) \cdot W_{I}(P)} \approx 1$$

则主压力调节系统的等效对象传递函数为:

$$W_{\gamma}(P) = -\frac{W_{P_{\gamma}}(P) \cdot W_{1}(P)}{1 + W_{P_{\gamma}}(P) \cdot W_{1}(P)} \times W_{2}(P) \approx W_{2}(P)$$

根据一般计祘可知, 热男扰动时, 调节对象W2(P) 动态特性为:

$$W_2(P) = \frac{\Delta P_M}{\Delta D_Q} = \frac{K_1}{1 + TP}$$
 (μ<sub>T</sub> 不变)

或 
$$W_2(P) = \frac{\Delta P_M}{\Delta D_Q} = \frac{\varepsilon}{P}$$
 (D不变)

这样主回路的等效调节对象就成为一个惯性环节( $\mu_T$ 不变)或一个积分环节(D不变), 使对象动态特性大大得到改善。

虽然串级调节系统在提高调节质景上带来了好处,但也带来了新的问题。因为付回路包含在主回路的回路内,而主回路的调节又要通过付回路来实现,这样付回路与主回路在调节过程中相互有影响。当主回路和付回路的工作频率相等时,会使调节过程产生共振,造成整个调节系统不 定。

事级调节系统的整定以主压力调节系统为例来进行分析,其调节系统方框图如图 2-7 所示。

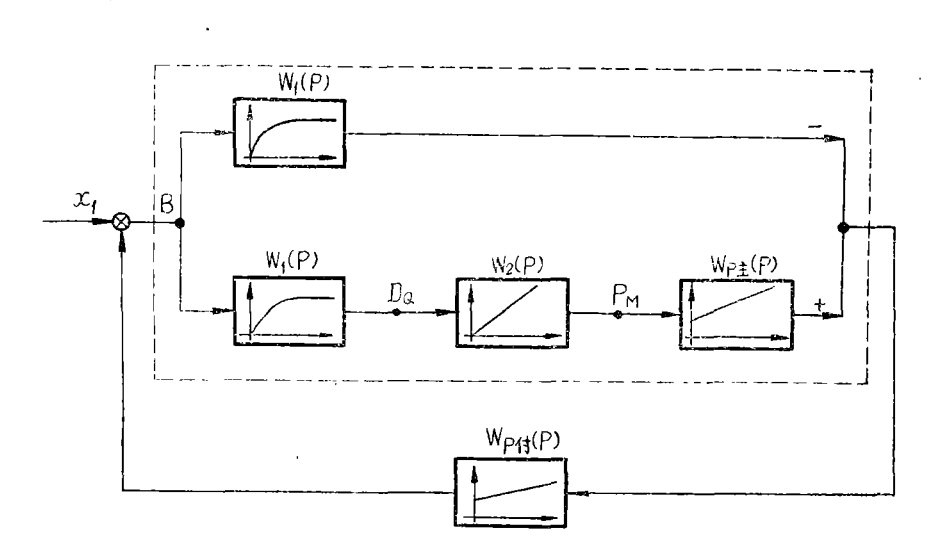


图 2-7 主压力调节系统内扰下方框图

如果对象  $W_2(P)$ 反应时间外,而主调节四  $W_{P\pm}(P)$ 的参数  $\delta_P$  选择得很小(即 $K_P$ 很大),则主回路对付回路就会产生影响,付调节口就不能按对象  $W_1(P)$ 来进行整定,而一定 要 按 等效对象  $W_{\$}(P)$  (如图 2-7 虚框中所示 )来 整 定。由于等效对象  $W_{\$}(P)$  中包含着主调 节四  $W_{P\pm}(P)$ ,因此主调节口参数会影响付调节口的整定,这时就必须进行主回路和付回路 之间反复试凑来整定主、付调节口。这种试凑是比较麻烦的,所以在保证系统较定的前提下,一般将主、付调节口整定得过程衰减率  $\psi$  不一样,前者调节过程衰减率  $\psi$  取得大一些,后者小一些,即达到付调节口快速动作要求。并使主、付回路调节过程工作频率错开。

如果将付回路整定为近似比例环节,即 $W_{ff}(P) = \frac{W_1(P) \cdot W_{pf}(P)}{1 + W_1(P) \cdot W_{pf}(P)} = 1$ ,则主压力调节系统可以简化为由主调节四 $W_{P\pm}(P)$ 和对象 $W_2(P)$ 组成的单回路调节系统,主调节四 $W_{P\pm}(P)$ 就可以根据对象 $W_2(P)$ 来进行整定。这样,由于二个对象动态特性 $W_1(P)$ 和 $W_2(P)$ 差别较大,就可以把主回路和付回路分别单独地进行整定,从而简化了复杂的事级调节系统的整定工作。

主压力调节系统与热负荷调节系统组成的串级调节系统同一般串级调节系统稍有不同, 热负荷调节系统不仅可以成为主压力调节系统中的付回路,起到执行机构作用,在锅炉带固 定负荷时还可以独立进行工作。这样可以先把热负荷调节口整定好,使热负荷调节系统在锅 炉带固定负荷情况下运行,然后再在这基础上整定主压力调节口。根据上述分析,对于串级 调节系统的整定层则和步骤为:

- (1) 先整定付回路。根据对象 W<sub>1</sub>(P), 取调节过程衰减率 中较低的指标来选择付调节 口的参数, 使付回路能是一个近似比例环节或能得到既和定义快速的调节过程。
  - (2)使付回路能独立地投入运行。
- (3)对象  $W_2(P)$ 有时不能直接求得,而且假定的付回路是一个K=1的比例环节,会与实际情况有一定出入,所以有必要来求取等效对象动态特性(求取方法下百叙及)。

$$W$$
等(P) =  $W_{0}$ (P) ·  $W_{2}$ (P)

(4)最后整定主回路中的主调节 $\Pi W_{p\pm}(P)$ 参数是根据等效对象  $W_{\#}(P)$  并取调节过程较高衰减率  $\psi$ ,保证整个调节系统的校定性。

#### 3. 热负荷调节系统的整定

热负荷调节系统的整定是根据被调号——热身  $D_0$  的内扰动态特性来选择热负荷调节 口参数  $\delta_P$ 、 $T_i$ 。而热身信号  $D_0$  是由蒸汽流身 D 和汽鼓压力  $P_8$  的微分二个信号组成,所以在整定热负荷调节系统之前先要整定热身信号  $D_0$ 。

# (1)热景信号 Do 整定

热房信号 Do 是由蒸汽流号 D 经差压变送口和汽鼓压力 Po 经压力变送口和 DTL-410微分口二个位号一起加到 DTL-130 调节口而组成的。用数学式表示为:

$$D_{Q} = D + P_{\delta} \frac{K_{D} T_{D} P}{1 + T_{D} P}$$
 (2—1)

式中: D ——蒸汽流射,毫安;  $P_8$  ——汽鼓压力,毫安;  $K_D$  ——微分田微分增益  $T_D$  ——微分田微分时间,秒。

热导 ( ) ) 整定是选择微分口的微分增益 ( ) 和微分时间 ( ) ) 。当调节对象在外部负荷 ( ) 水动时( ) ) 从号 ( ) 不变 ( ) ,热号平衡方程式为:

$$D_{\Omega} = D + C_{K} \frac{d p_{\delta}}{d t} \qquad \text{MI} \quad \Delta D_{\Omega} = 0$$
 (2—2)

则式(2-1)为:

$$D_{D}(P) = W_{D}(P) + W_{P8}(P) \cdot \frac{K_{D}T_{D}P}{1 + T_{D}P} = 0$$
 (2-3)

式中:  $W_D(P) = -\frac{\Delta D}{\Delta N}$  蒸汽流 BD 在负荷扰动时对象动态特性

 $W_{P\delta}(P) = \frac{\Delta P_{\delta}}{\Lambda N}$ - 汽鼓压力  $P_{\delta}$  在负荷扰动时对象动态特性

从式(2—3)可以看出,在外扰时,热**男**仗号变化应该等于零。这样就可以根据外扰时蒸汽流 B D 和汽鼓压力 B D 动态特性来整定微分口的 B K D、 T D。热导仗号的整定可以用计标 方法,也可以用现场试验方法,现分别叙述如下:

① 根据对象的动态特性用计标方法来整定微分口  $K_D$ 、 $T_D$ 。从对象动态特性试验所得结果可知,外扰时,蒸汽流男D 的动态特性近似为比例环节。

$$W_D(P) = -\frac{\Delta D}{\Delta N} = 1.2$$
 毫安/毫安

汽鼓压力 P。的外扰动态特性是一个反向积分环节。

$$W_{P8}(P) = \frac{\Delta P_b}{\Delta N} = -\frac{\varepsilon}{p} = -\frac{1}{84p}$$
 毫安/毫安・秒

式中  $\varepsilon = \frac{1}{84}$  毫安/毫安・秒

将 W<sub>D</sub>(P)、W<sub>P8</sub>(P)代入式(2-3)

$$\Delta D - \frac{\varepsilon}{p} \cdot \frac{K_D T_D P}{1 + T_D P} = 0$$

$$\Delta D - \frac{\varepsilon K_D T_D}{1 + T_D P} = 0$$
(2-4)

忽略上式中的惯性环节,即将微分口的实际微分环节的动态特性近似为理想微分环节。

$$\frac{K_{\rm D}T_{\rm D}P}{1+T_{\rm D}P} \approx K_{\rm D}T_{\rm D}P$$

得到

$$\Delta D - \varepsilon K_D T_D = 0 \tag{2-5}$$

$$M = K_{\rm D} T_{\rm D} = -\frac{\Delta D}{\epsilon}$$
 (2-6)

这样的假定必然存在误差,为使实际微分环节近似为理想微分环节的假定所造成的误差 尽可能小,因此要求  $K_D$  最大,  $T_D$  要小。 DTL -410 微分口的微分增益  $K_D$  最大是 10,故取  $K_D$  = 10。

则 
$$T_D = \frac{\Delta D}{\epsilon K_D} = \frac{1.2 \times 84}{10} = 10$$
秒

$$I_0 = KD^2$$
 (2—7)

则蒸汽流分变送口斜率 Yn 为:

$$\gamma_{\rm D} = \frac{\mathrm{d}I_{\rm D}}{\mathrm{d}D} = 2\mathrm{K}(1) \tag{2-8}$$

$$\gamma_{\rm D} = \frac{\rm D}{\rm D_{M}} \bullet \gamma_{\rm M} \tag{2.-9}$$

由式(2-6)中单位换称为:

$$T_{D} = \frac{\Delta D}{K_{D} \cdot \epsilon \cdot \gamma_{P\delta}} \times \frac{\gamma_{M}}{D_{M}} \times D$$
 (2—10)

式中:  $\Delta D$  ——蒸汽流另,吨/时  $\epsilon = \frac{\Delta P_{\delta}}{t}$  ——飞升速度,公斤/公分 $^2$  • 秒

Υ□——蒸汽流房变送□斜率,毫安/吨/时 ΥPs——汽鼓压力变送□斜率,毫安/公斤/厘米² DM——最大流房,吨/时 ΥΜ——最大流房变送□斜率,毫安/吨/时。

 $\gamma_D$  不同,则  $T_D$  所得结果也不同。前百微分口参数的计标是在蒸汽流景 110 吨/时条件下进行的, $T_D=10$  秒;而这二台 锅炉 在 80 吨/时 到 120 吨/时 负荷 下 运 行, $T_D$  应 按 式 (2—10)计算得:

$$T_D = -\frac{\Delta D}{K_D \epsilon \gamma_{P\delta}} \times \frac{\gamma_M}{D_M} \times D = K' D$$

当蒸汽流导 D=110 吨/时 时求得: Tp=10 秒。

当 D=80 吨/时时,  $T_D=7$ 秒; D=120 吨/时时,  $T_D=11$ 秒。

由于  $T_D$  在负荷 80 吨/时到 120 吨/时相差不大,所以取  $T_D=10$  秒。

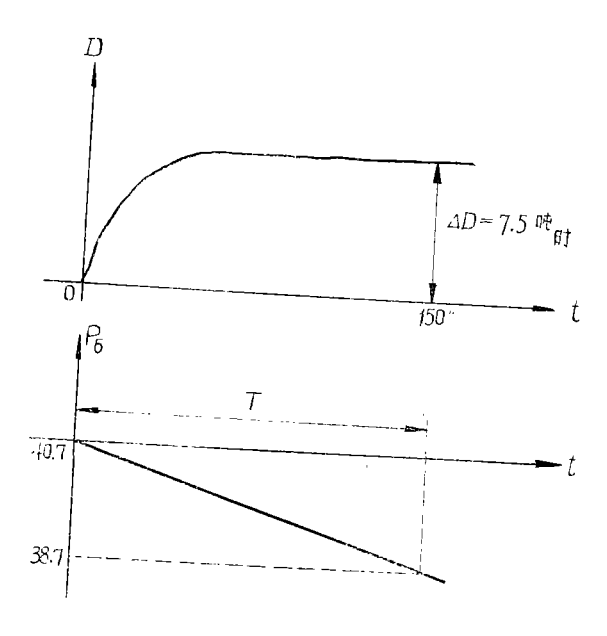


图 2-8 D 阶跃扰动 P。 变化曲线

② 用锅炉蓄热系数  $C_K$  来计算微分四  $K_D$ 、 $T_D$ 。 外扰时热身方程式为:

$$D_Q = D + C_K \frac{dp_\delta}{dt} = 0$$

$$C_{K} = - - \frac{D}{\frac{dp_{b}}{dt}}$$
 (2--11)

式中负号表示外扰时,蒸汽流男 D 与汽鼓压力  $P_0$  变化方向相反。 将式(2—11)两边积分得:

$$C_{K} = -\frac{\int_{0}^{T} \Delta D dt}{P_{\delta}(T) - P_{\delta}(O)}$$
 (2—12)

式中: C<sub>κ</sub>锅炉蓄热系数, 吨/时·秒 公斤/厘米<sup>2</sup>

 $\int_0^{\tau} \Delta D dt$  的积分可用作图法计祘百积求出,根据上述试验所得曲线,如图2—8所示求得:

$$C_K = \frac{\Delta D \cdot T}{P_\delta(T) - P_\delta(O)} = \frac{7.5 \times 150}{40.7 - 38.7} = 560$$
 吨/时·秒 公斤/厘米<sup>2</sup>

$$C_K = \frac{7.5 \times \gamma_D \times 150}{(40.7 - 38.7) \times \gamma_{P\delta}} = 96$$
 毫安/毫安·秒

$$\gamma_{P\delta} = 0.5$$
 毫安 公斤/厘米<sup>2</sup>

从式(2-1):

$$D_Q = D + P_\delta \cdot \frac{K_D T_D P}{1 + T_D P}$$

将微分口的实际微分环节的动态特性近似看作理想微分环节, 即:  $\frac{K_DT_DP}{1+T_DP} \approx K_DT_DP$  和式(2—2)则得到:

$$\mathbf{K}_{\mathbf{D}}\mathbf{T}_{\mathbf{D}} = \mathbf{C}_{\mathbf{K}} \tag{2-13}$$

 $K_D = 10$ 

$$T_{\rm D} = -\frac{C_{\rm K}}{K_{\rm D}} = \frac{96}{10} \doteq 10 \, \text{fb}$$

# ③ 用外扰试验方法整定热景仪号

$$D_Q = \Delta D - P_{8^{-}} \frac{K_D T_D P}{1 + \hat{T}_D P} = \Delta D - \varepsilon K_D T_D = 0$$

当同步 $\Pi$ 开度  $\mu_T$  开大时,如调节口\出电流  $I_{\rm H}$  增加,即  $\Delta D > \epsilon K_D T_D$ ,说明  $T_D$  放 置

太小,则应增加  $T_D$ ,反之则减 小  $T_D$ 。如  $\mu_T$  关小时,调节归 软出 电流  $I_{\rm H}$  减 小,即  $\Delta D < \epsilon K_D T_D$ ,说明  $T_D$  反罡太大,则应 减 小  $T_D$ ,反之则增加  $T_D$ 。 直到调节口软出电流在外扰时基本不变,此时  $T_D$  数值即为 所需的整定值。

#### ④ 用内扰试验方法来整定热景仪号

#### (2)热负荷调节田整定

热负荷调节口整定是根据内扰对象动态 特性  $W_{DQ}(P)$ 来选择调节口比例带 $\delta_P$ 和积分 时间常数  $T_i$ ,所以在上述热男仗号  $D_Q$  整定

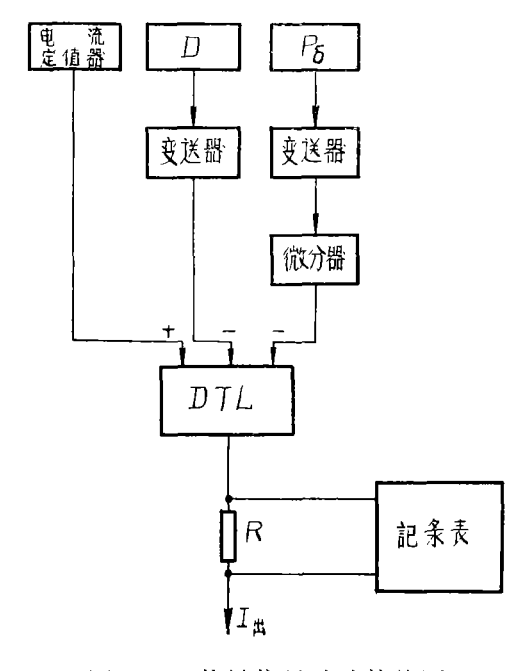


图 2-9 热景仪号试验接线图

的基础上, 求取灶景扰动下(内扰)热景仪号 Do的动态特性。

#### ① 求取热导仪号 Do 动态特性

求取方法是:按图 2-9 把仗号和记录表接好。在锅炉秋定工况下,另一台锅炉带调节负荷保持母管压力  $P_M$  不变,然后同时突然改变二台给灶机转速(灶房),由记录表上求得热 易阶跃反应曲线。如图 2-10 所示。

由图 2-10 曲线求得对象动态特性参数为:

迟延时间: 
$$\tau = 20$$
秒 飞升速度:  $\epsilon = \frac{\Delta D_Q}{\Delta B \cdot T} = 0.0125$ 毫安/毫安·秒 自平衡率:  $\rho = \frac{\Delta B}{\Delta D_Q} = \frac{1}{1.25} = 0.8$ 毫安/毫安

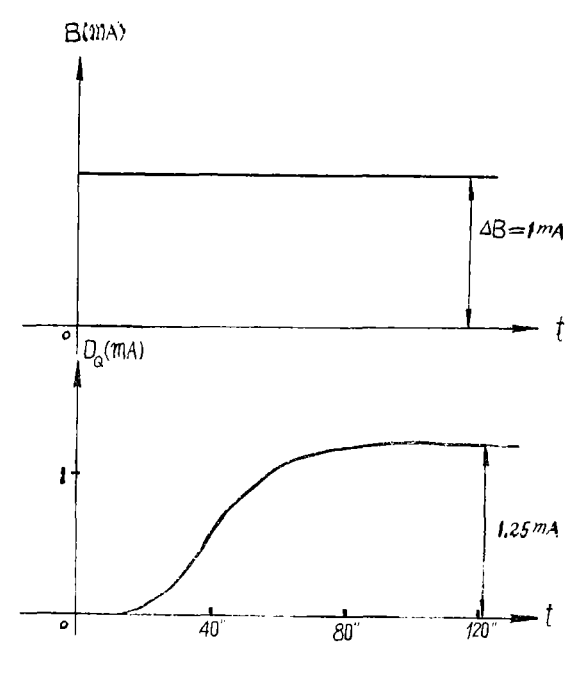


图 2-10 热景飞升曲线

显然二台给灶机转速扰动和三台给灶机转速扰动对象的动态特性是不同的。三台给灶机转速扰动时,自平衡率  $\rho$  减小而飞升速度  $\varepsilon$  增加;因此二台给灶机投自动时,热负荷调节口参数整定应按二台给灶机转速扰动时的对象动态特性( $\rho$ · $\varepsilon$ )来计算,三台给灶机投自动时,热负荷调节口参数整定则按三台给灶机转速扰动时对象动态特性( $\rho$ · $\varepsilon$ )计算。将二台给灶机转速扰动时所得对象动态特性换算为三台给灶机转速扰动时的对象动态特性,相当于每台给灶机改变50× $\frac{2}{3}$ =33转/分(相当于 0.67 毫安)此时:

$$\rho = \frac{0.67}{1.25} = 0.535$$
 毫安/毫安

$$\varepsilon = \frac{1.25}{0.67 \times 100} = 0.0187$$
 毫安/毫安·秒

用切线法(见本刊1974年第9期)求得对象动态特性传递函数为:

$$W_{+}(P) = \frac{K_{+}}{(1+T_{+}P)^{3}}$$
 
$$= \frac{1.25}{(1+28p)^{3}} = \frac{8e}{(1+28p)^{3}}$$
 毫安/毫安 (相当于三台给灶机扰动) 
$$= \frac{1.87}{(1+28p)^{3}} = \frac{8e}{(1+28p)^{3}}$$

式中: K<sub>1</sub>----对象放大系数,毫安/毫安 T<sub>1</sub>-----对象时间常数,秒

② 热负荷调节田整定

甲 用经验公式法 热负荷调节田可以根据前百所说的串级调节系统整定庑则,用经验公式方法来进行估算。

$$\delta_{\Gamma} = 1.1 \epsilon \tau$$
  $T_{\tau} = 3.3 \tau$ 

代入得

 $\delta_P = 27\%$ 

T<sub>i</sub> = 66 秒

(二台给灶机投入自动)

 $\delta_P = 40\%$ 

 $T_1 = 66 \text{ } \%$ 

(三台给灶机投入自动)

乙 给定调节过程衰减率 ψ,根据平方误差百积最小准则来选择。

一般调节口参数整定,按内扰对象动态特性以给定调节过程衰减率  $\psi$ 来进行估算。比例 积分调节口有二个参数,比例带  $\delta_{\Gamma}$  和积分时间常数  $T_i$ ,而给定一个条件——衰减率  $\psi$ , 还不能求出二个未知数( $\delta_{\Gamma}$ , $T_i$ ),所以再附加一个条件——平方误差百积 I 最小(平方积分准则)。

$$I = \int_{0}^{\infty} [h(\infty) - h(t)]^{2} dt = \mathbb{R}$$
 (2—14)

若对象是二阶惯性环节,调节口是比例积分调节口,得到调节口参数为:

$$\delta_{1} = 0.07 \,\mathrm{K}_{1}$$
  $T_{i} = 2.8 \,\mathrm{T}$   $(\psi = 0.75)$ 

上述方法可以求得三阶等容环节调节对象的调节口整定参数。 取  $\psi = 0.75$  (m = 0.221) 时, 热负荷调节口的参数为:

$$\delta_{P} = 0.45 K_{1} = 0.45 \times 1.25 = 50\%$$
  
 $T_{1} = 2.97 T = 2.9 \times 28 = 81秒$  (二台给灶机投入自动)

$$\delta_{P} = 0.45 K_{\perp} = 0.45 \times 1.87 = 84\%$$
 (三台给灶机投入自动)  $T_{\perp} = 81$ 秒

关于用平方误差百积最小准则来计算调节口整定参数方法详见另文。

由于试验方法求得对象动态特性的误差和系统非线性,所以用计算方法求得调节口参数 仅是一个估算,需经现场定值扰动试验来定其是否合适,并加以多正。现场定值扰动试验曲 线如图 2-11 所示。

其与计算结果基本符合要求, 在三台给灶机投入自动情况下, 调节印参数为:

$$\delta_{\Gamma}=90\,\% \qquad \qquad T_{\rm i}=80\,\text{Fe}$$

热负荷调节田整定几点小结

- (1)热负荷调节四整定是在热景仗号 Do 已整定好的基础上进行。
- (2)根据串级调节系统整定后则,热负荷调节口的整定取 ψ=0.75较好。
- (3)由于蒸汽流景仪号未经过开方口,在高负荷时,其对象放大系数 K 大(高负荷时变送口斜率大),为了保证系统校定性,热负荷调节口应按高负荷进行整定。
- (4)锅炉投入自动的给灶机数目不同,调节口比例带  $\delta_{\Gamma}$  应相应改变。投入自动的 给 灶机台数多,比例带  $\delta_{\Gamma}$  取大,反之则取小。按上述计算结果,当投入二台给灶机 时,调节口

比例带  $\delta_P$  应放在60%; 投入三台给**儿机时**,  $\delta_P$  应放在 90%。

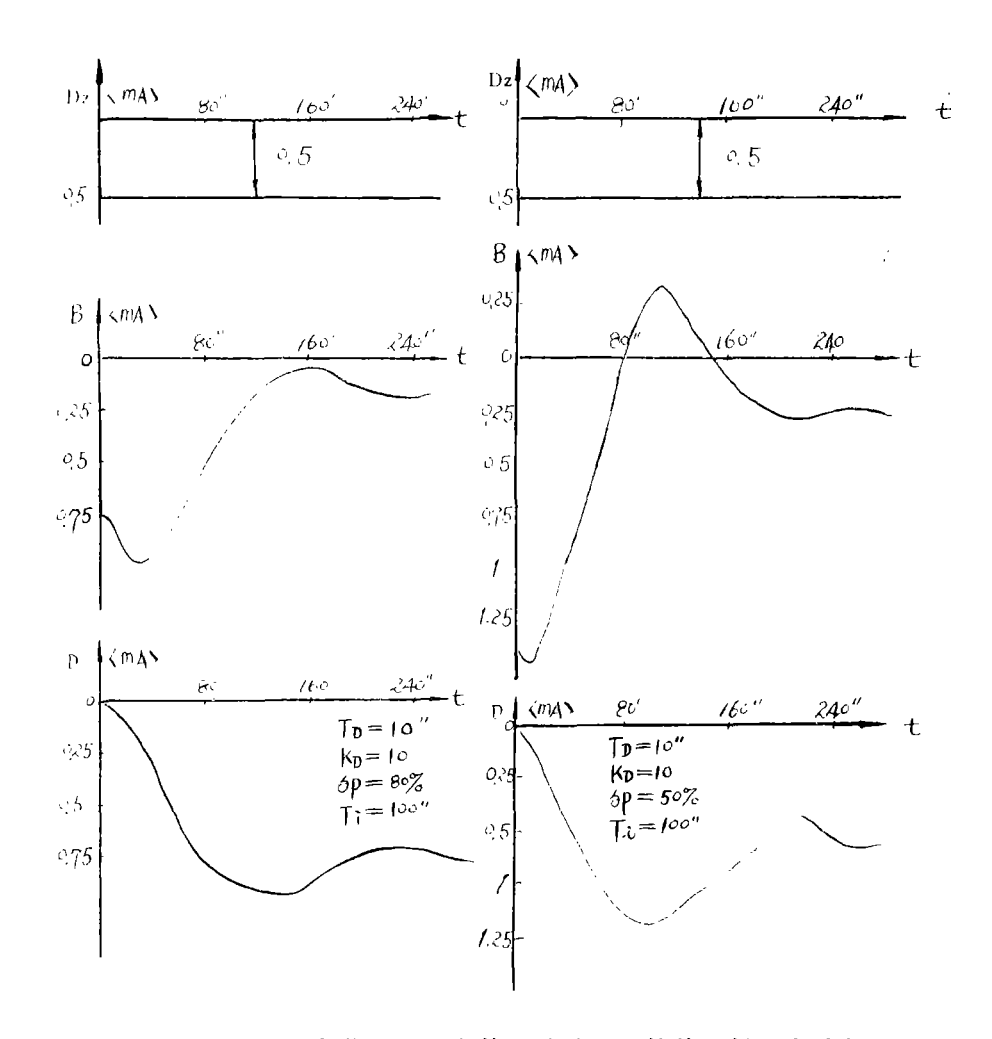


图 2-11 热负荷调节口定值扰动(三台给灶机投入自动)

#### (3)主压力调节系统整定

### ① 求取主压力调节对象的动态特性

主压力调节口整定根据串级调节系统整定层则,可按对象动态特性  $W_2(P)$  来进行。 主压力调节系统框图如图(2-6)。但是要求得在  $D_Q$  阶跃扰动时,母管压力  $P_M$  动态特性曲线是困难的,一般通过试验所能得到的只是灶身 B 扰动下母管压力  $P_M$  变化的飞升曲线,这已经包含了  $D_Q$  对  $P_M$  的动态特性。其传递函数为:

$$W(P) = \frac{\Delta P_M}{\Delta B} = W_1(P) \cdot W_2(P)$$

同时主压力调节口按对象动态特性  $W_2(P)$ 来整定,是在假定付回路是 一个 比例 环节 (K=1)的条件下进行的,但实际上付回路不是一个真正的 K=1比例环节,由此应把付回路

和  $W_2(P)$ 组合起来作为主调节口的等效对象来看待。如图(2-6)虚框部分。这样则要求先求出等效对象  $W_{\Xi}(P)$ 的动态特性。

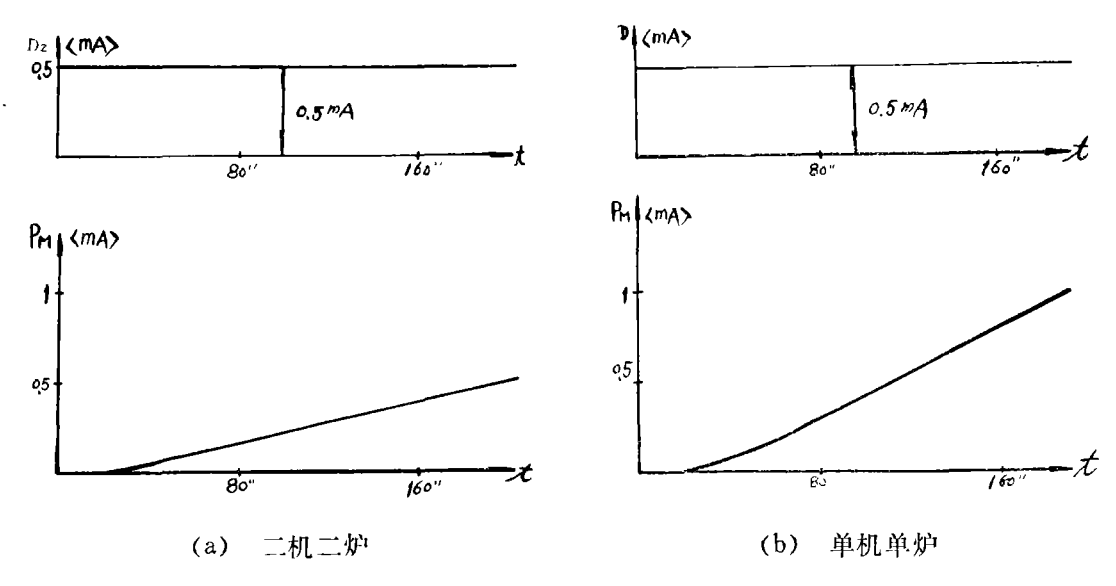


图 2-12 母管压力飞升曲线(热负荷定值扰动)

母管压力 P<sub>M</sub> 在内扰下对象动态特性参数和传递函数为: 甲 二机二炉运行保持汽机负荷不变时: 对象动态参数为:

等效对象动态特性传递函数为:

$$W_{\tilde{r}}(P) = \frac{1}{1+30p} \cdot \frac{0.006}{p}$$
 毫安/毫安

乙 单机单炉运行保持汽机负荷不变时; 等效对象动态参数为;

$$\tau = 30$$
 秒  $\epsilon = 0.012$  毫安/毫安·秒

等效对象动态特性传递函数为:

$$W_{\mathfrak{P}}(P) = \frac{1}{1+30p} \cdot \frac{0.012}{p}$$
 毫安/毫安

这样主调节口 W<sub>P±</sub>(P)与等效对象 W<sub>等</sub>(P)组成一单回路调节系统。单机单炉运行时,对象外扰动态特性由图 2-5 所得:

$$W_3(P) = \frac{\Delta P_M}{\Delta N} = 0.6 + \frac{1}{84p} = \frac{2}{84p} = \frac{2}{84p}$$

二机二炉运行时,对象外扰动态特性:

$$W_3(P) = \frac{\Delta P_M}{\Delta N} = 0.30 + \frac{1}{170p}$$
 毫安/毫安

对于主压力调节系统的整定,根据串级调节系统整定尼则要求,保证系统一定较定性。因为对象内扰动态特性和外扰动态特性差别很大,前者反应慢,是一惯性的积分环节,后者反应大,是一个比例加积分的环节。因此当产生外扰时,母管压力  $P_M$  一开始就有一个阶 跃跳动,调节系统是通过反应慢的内扰对象特性来消除外扰变化,则燃料另和风另都容易产生过调,调节系统容易振荡,所以在采用比例积分调节规律调节口的调节系统,其衰减率\ 要求取得较大。

② 根据内扰对象动态特性进行计算

因汽机功率调节系统已投入自动,所以对主压力调节四参数按汽机负荷(N)不变时的对象动态特性估算。

按经验公式,单机单炉运行时:

$$T_i = 3.3\tau = 100$$
  $\delta_P = 1.1\epsilon\tau = 40\%$ 

二机二炉运行时:

$$\delta_{\rm P} = 20\%$$
  $T_{\rm i} = 100 \, \text{P}$ 

根据平方误差百积最小准则, 取  $\psi = 0.95 (m = 0.477)$ , 单机单炉运行时:

$$\delta_P = \epsilon \tau = 36\%$$
  $T_i = 5.78T = 173$ 

二机二炉运行时:

$$\delta_P = \epsilon \tau = 30 \times 0.006 = 18\%$$
  $T_i = 5.78T = 173$ 

取  $\psi = 0.998(m = 1)$ , 单机单炉运行时:

$$\delta_P = 2.16 \epsilon \tau = 72\%$$
  $T_i = 6.4 T = 6.4 \times 30 = 190$ 

二机二炉运行时:

$$\delta_P = 2.16 \epsilon \tau = 36\%$$
  $T_i = 190 \%$ 

③ 按外扰对象动态特性校核 按经验公式方法,单机单炉运行时:

$$\delta_{P} = \frac{\Delta P_{M0}}{\Delta D} = \frac{\Delta N}{\Delta D} \cdot \frac{\Delta P_{M0}}{\Delta N} = \frac{0.6}{1.2} = 50\% \qquad T_{i} = (4 \sim 7)\tau = 6 \times 30$$

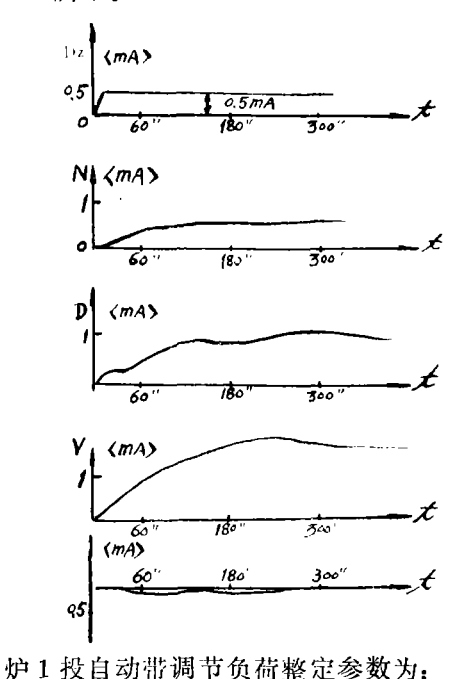
$$= 180 \text{ Fb}$$

式中  $\Delta P_{M}$ 。为母管压力初始跳跃值。

二机二炉运行时:

$$\delta_{\rm P} = 25\%$$
  $T_{\rm i} = 180 \; \%$ 

根据估算数据,在现场进行试验,基本符合要求。其内扰和外扰调节过程曲线如图2-13和2-14所示。



 $\delta_{P}$  = 20%  $T_{i}$  = 180″  $\delta_{P}$   $\Delta_{P}$ 

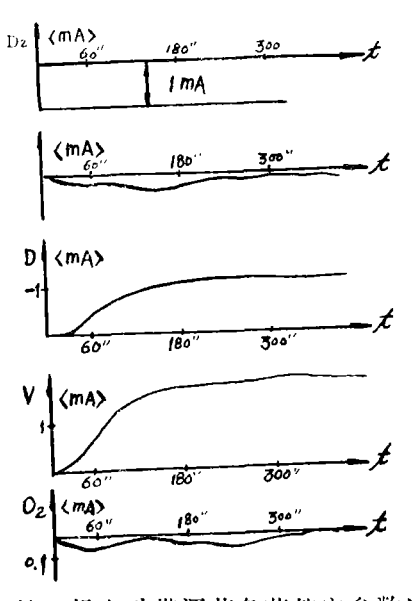
(图内最后一条曲线的纵座标为 P<sub>M</sub>) 图 2-13 汽机负荷扰动试验

最后参数选定。

单机单炉运行时:

$$\delta_{1'} = 40\%$$
  $T_i = 180$ 

二机二炉运行时:



对主压力调节口整定几点小结

- (1)主压力调节口整定在热负荷调节系统整定好的基础上进行。
- (2)根据串级调节系统整定后则,主压力调节系统的整定取衰减率  $\psi$  为0.95 $\sim$ 0.998(m = 0.477 $\sim$ 1.0)较好。
- (3)由于汽机功率自动投入与不投入工况不同,所得对象动态特性也不同(同步田μτ扰 动和负荷扰动),则主压力调节口参数也不同。一般汽机保持功率工况下,主调节口比例带 应取得较大。
- (4)运行机炉台数和并列锅炉运行中带调节台数不同,主调节田比例带  $\delta_{\rm P}$  也不 同。 如二机二炉运行比单机单炉运行时比例带  $\delta_{\rm P}$  要小一倍。如果二机二炉运行时,二台 炉同 时带调节负荷,则比例带  $\delta_{\rm P}$  同单炉单机时相同。

#### (三)送风调节系统

送风调节系统的任务是保证锅炉燃烧经济性。锅炉燃烧经济性往往用炉膛过剩空气系数  $\alpha_T$  来间接反映,因为过剩空气系数  $\alpha_T$  不能直接测景,因此目前采用测定烟气含氧景来代表。烟气含氧景与过剩空气系数  $\alpha_T$  具有一定单值关系。

目前生产的磁性氧号计(QZS型)因反应迟延时间较大,一般要在一分钟以上,且可靠性差,尚不能满足送风自动调节系统的使用要求。随着采用氧化锆(ZrO<sub>2</sub>)氧浓差 电池 后理制成的氧号计的研制成功,可以快速测定烟气中含氧号,为送风调节系统的使用提供了条件。

这次在锅炉上安装了氧化锆氧**另**计,并以氧化锆氧另计测定的氧另作校正仗号的送风调 节系统投入自动。

送风调节系统除氧号测号问题外,还存在着风号仪号测号问题。目前风号测量有三种方法:利用风道阻力如采用空气预热口出入口压差,在风道上加装节流装置;测定风道中平均风速。这三种方法各有优缺点,根据风道布置(参见本文图 1-1),在空气预热口中间虽有抽风,但旁路挡板平时不经常操作,所以这次仍采用空气预热口出入口压差作为风号测号仪号。

送风调节系统接受主压力调节口的软出位号或固定负荷定值口定值位号与表征风景的空气预热口进出口压差位号一起加到送风调节口,在控制燃料房同时去控制送风机进口挡板,改变进入炉膛的风景,并要求风景与灶景以一定关系配合,以保证锅炉燃烧的经济性。其系统后理框图见图 2-15。在采用氧号校正的送风调节系统中,因为有氧号校正调节口的校正作用,因此当风灶比配合较差时,仍能保证氧景不变。这次在送风调节系统投入过程中,对采用氧导校正和不采用氧导校正二种送风调节系统都进行了试验。

1. 不采用氧昙校正位号的送风调节系统

不采用氧号校正位号的送风调节系统后理图示于图 2-16。

从热身方程式可知, 在静态时  $C_K = \frac{dp_b}{dt} = 0$  其热身仗号  $D_Q$  为:

 $D_0 = D$ 

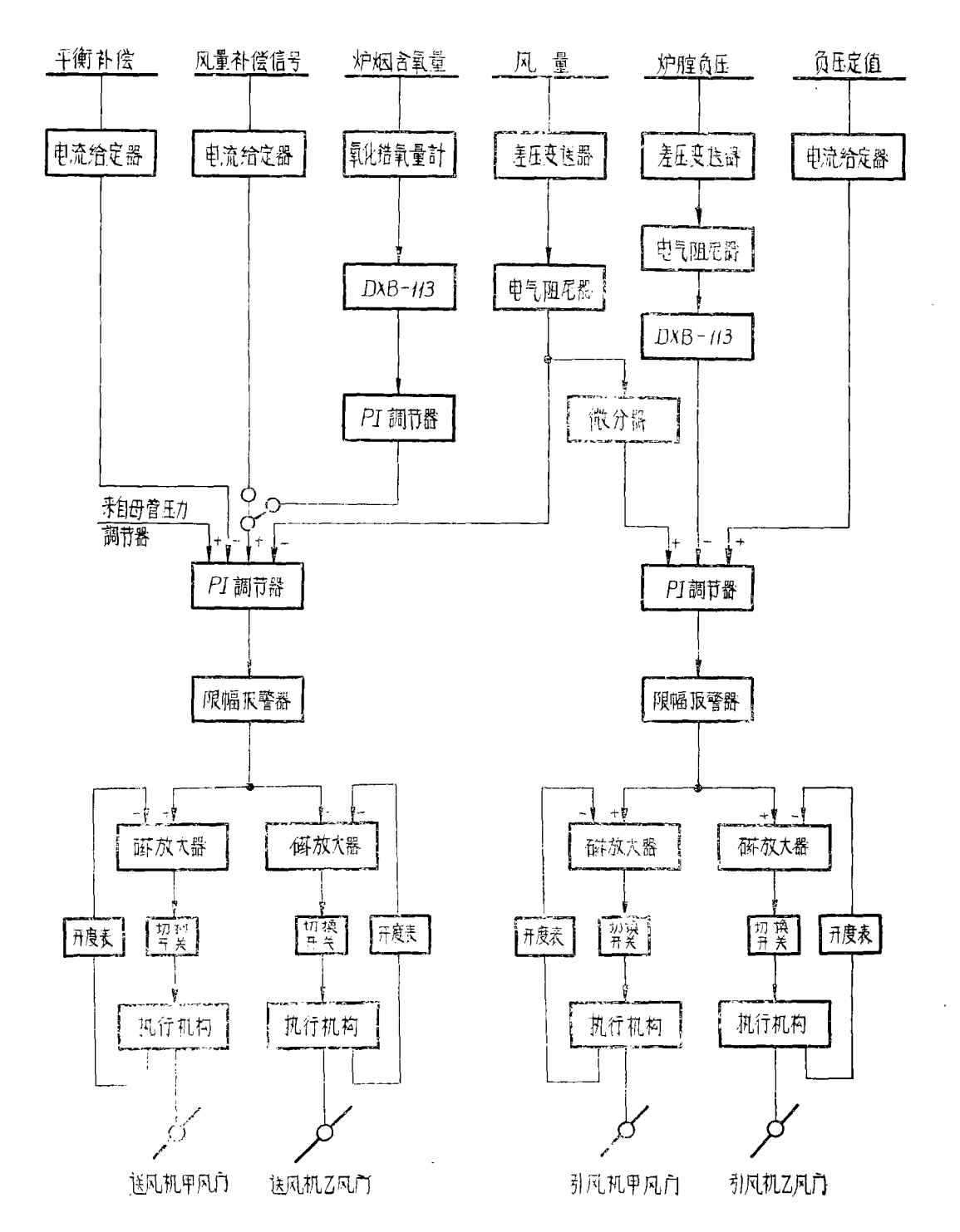


图 2-15 锅炉送风及炉膛负压调节系统后理图

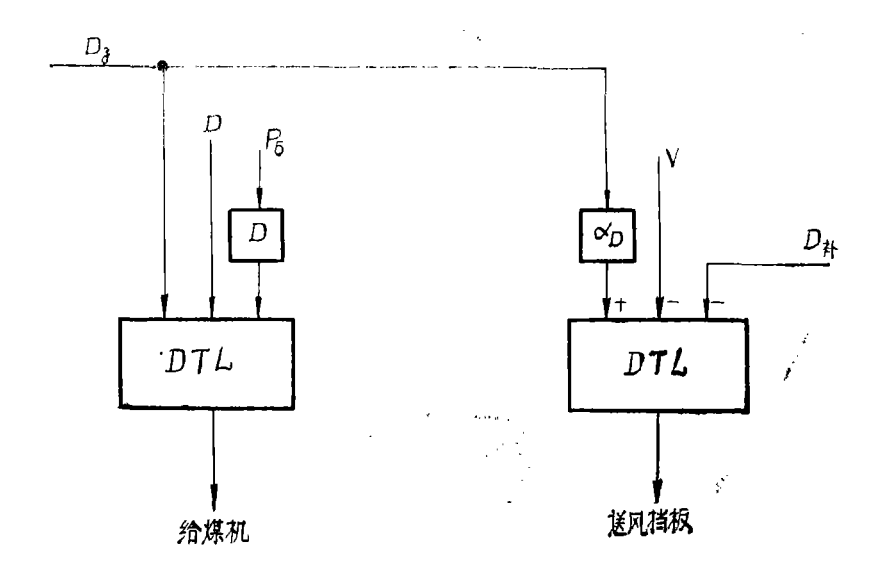


图 2-16 不采用氧异校正位号的送风调节系统图

在锅炉秋定工况下, 其热平衡方程式为:

$$BQ_{H}^{P} \bullet \eta = D(is-iw)$$
 (2-15)

为了保证燃烧的经济性,在理论上需要风量 V理为;

$$V\underline{\mathbf{u}} = \mathbf{A} \cdot \mathbf{B} \cdot \mathbf{Q}_{\mathbf{H}}^{\mathbf{p}} \tag{2-16}$$

式中: A — 与燃料种类、湿度有关的系数。 而实际需要风量  $V_{\mathfrak{S}}$  为:

$$V_{\mathfrak{Z}} = \alpha_{\mathrm{T}} V_{\mathfrak{P}} \tag{2-17}$$

式中: α<sub>T</sub>——过剩空气系数 由式(2—15)至式(2—17)得到:

$$\frac{V_{\mathcal{X}}}{D} = \frac{A(is - iw)}{\eta} \cdot \alpha_T = C\alpha_T = K$$
 (2—18)

式中 
$$C = \frac{A(is - iw)}{\eta}$$

在 L 在 L 种、湿度、给 水热 含 和锅炉燃烧效率不变 传况下, L C 是 一 个 常数。 所以 保持实际 风 号 L V L 和 蒸汽流量 L 一定 比值 时, 也就 保持了一定 过剩 空气 系数 L 不, 从 而 保证 了锅炉 的 燃烧 经济性。 所以 这种 送风调节 系统 称为给定负债——空气 系统。 图 2-16 中静 态时:

$$D_{\ell} = D$$

D<sub>2</sub>-----固定负荷定值**位号或主压力调节**四轨出位号 由式 2-18 得到:

$$\frac{V_{\mathfrak{F}}}{D} = \frac{V_{\mathfrak{F}}}{D_z} = K = \alpha_D \tag{2-19}$$

αρ----负荷分流系数

送风调节系统整定就是要确定分流系数 $\alpha_D$ 以保证风灶比配合和送风调节口的比例带 $\delta_P$ 和时间常数  $T_i$ 。

#### (1)分流系数 αυ 整定

分流系数  $\alpha_D$  就是风量 V 和蒸汽流量 D 之配比系数,也称为风灶比。其整定有静态试验和动态试验二种方法。

# ① 用静态试验法求取分流系数 αι

试验时要求锅炉在某一秋定负荷时改变风量,使氧量表指示保持一最佳值,校定15分钟左右,记录蒸汽流量 D 和风量 V 数值。然后改变锅炉负荷(负荷改变量不希望 很 大),在新的工况下校定下来,同时改变风景,使氧量保持不变。待校定15分钟左右,再记录蒸汽流量 D 和风量 V。这样改变锅炉儿个负荷而得到在氧量不变恃况下,风量 V 和蒸汽流量 D 的关系见下表。

蒸汽流量	变送口轨出	预热口出入口差压	变送口轨出		
(吨/时)	(毫安)	(毫米水柱)	(毫安)		
149	8.7	260 - 150 = 110	4.9		
135	7.1	180 - 95 = 85	3.9		
130	6.6	160 - 85 = 75	3.6		
122	5.8	145 - 75 = 70	2.9		
118	5.4	115 - 55 = 60	2.7		
112	4.9	84 - 40 = 44	2.2		

风量和蒸汽流量的关系

从上表求取平均值,得分流系数 αρ

$$\alpha_D = \frac{\Delta V}{\Delta D} = \frac{2.7}{3.8} = 0.7$$

由于风灶比曲线不通过层点,为使送风调节口入口佼号平衡,需要在送风调节口上加一补偿佼号 D<sub>补</sub>

$$D_{N} = D_{z} \cdot \alpha_{D} - V = 4.9 \times 0.7 - 2.2 = 1.3$$
 毫安

D补仪号同风量仪号方向相同。

由阶跃反应曲线可求出对象动态特 性参数为:

用切线法求得对象传递函数为:

$$W_2(P) = \frac{1.8}{(1+29p)^2}$$
 毫安/毫安

再做锅炉负荷扰动时氧 量 变 化 曲 线。将热负荷调节系统(带固定负荷)

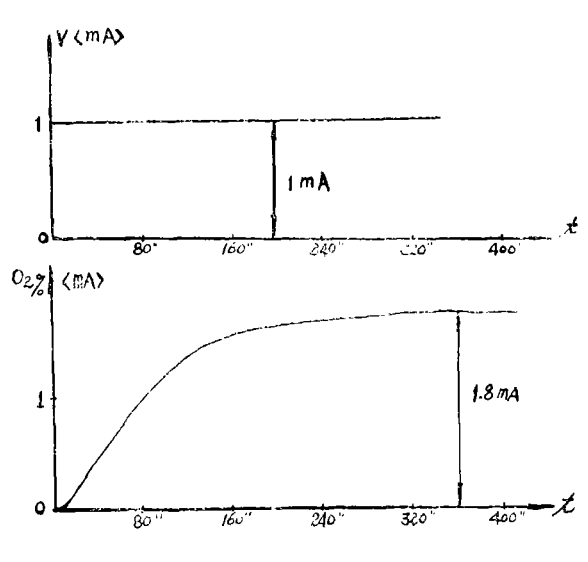


图 2-17 氧量飞升曲线

投入自动,风量保持不变,在校定工况下,改变固定负荷定值口定值,同时记录蒸汽流景变化值和氧房轨出**位号的变**化。由于热负荷调节系统投入自动,灶房经常有变化,故不易求房得氧阶跃反应曲线,所以后改为灶房扰动来求得阶跃反应曲线。如图 2-18 所示。

由反应曲线求出动态参数为:

$$\tau = 10$$
秒  $\epsilon = \frac{1.4}{80} = 0.0180$ 毫安/安毫·秒
$$\rho = 0.7$$
毫安/毫安
$$K = \frac{\Delta O_2}{\Delta B} = \frac{1.45}{1} = 1.45$$
毫安/毫安

用切线法求得对象动态特性传递函数为:

$$W_3(P) = \frac{\Delta O_2}{\Delta D} = \frac{1.16}{(1+29p)^2}$$
 毫安/毫安

**灶**身与蒸汽流身静态放大系数,由前百求得为:

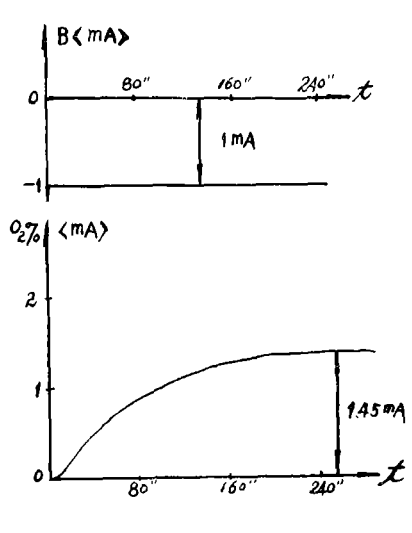


图 2-18 炉1\*氧易飞升曲线 (灶景扰动)

$$K_3 = -\frac{\Delta D}{\Delta B} = 1.25$$
 毫安/毫安

$$K_4 = -\frac{\Delta O_2}{\Delta D} = \frac{\Delta O_2}{\Delta B} \times \frac{\Delta D}{\Delta B} = 1.16$$
 毫安/毫安

则分流系数 αμ 为:

$$\alpha_{D} = \begin{array}{c} \Delta V \\ \Delta D \end{array} = \begin{array}{c} \frac{\Delta O_{2}}{\Delta D} \\ \frac{\Delta O_{2}}{\Delta V} \end{array} = \frac{K_{4}}{K_{1}} = \frac{1.16}{1.8} = 0.65$$

#### (2)送风田调节田整定

送风调节口的对象 W。(P)可近似看作是一个比例环节。对于对象是比例环节而调节 口采用比例积分调节规律的单回路调节系统,系统特征方程式为:

$$H_0(P) = 1 + W_0(P) \cdot W_P(P) = (1 + K_0 K_P)P + \frac{K_0 K_P}{T_i} = 0$$
 (2-20)

式中 W<sub>0</sub>(P) = K<sub>0</sub>

对象传递函数

$$W_{\Gamma}(P) = K_{\Gamma} (1 + \frac{1}{T_{\Gamma}P})$$
 调节四传递函数

特征方程式的根

$$P = -\frac{K_0 K_P}{T_0 (1 + K_0 K_P)}$$
 (2-21)

因此 K<sub>P</sub> 在任何数值时,闭环系统调节过程都是非周期过程,调节口参数 T<sub>E</sub>取 得 小, K<sub>P</sub> 取得大时,特征方程式负实根也大,调节过程快,过程时间外。闭环系统传递函数为:

$$W_{+}(P) = \frac{V}{D_{z}} = \frac{W_{P}(P)W_{0}(P)}{1 + PW(P)W_{0}(P)} = \frac{T_{i}P + 1}{1 + K_{0}K_{P}T_{i}P + 1}$$
(2-22)

当 T<sub>i</sub> 取得很小, K<sub>i</sub> 取得很大, 则:

$$W_{[k]}(P) \doteq 1$$

  $(D_z \cdot \alpha = V + D_A)$ , 把送风调节系统投入自动,做定值扰动试验。记录风景 V 变 化, 改 变 调节口比例带  $\delta_P$ ,使风景变化是一个近似比例环带,其调节过程是一个 非 周期过程,则此时调节口比例带  $\delta_P$  就认为是合适的。试验结果如图 **2-19** 所示。

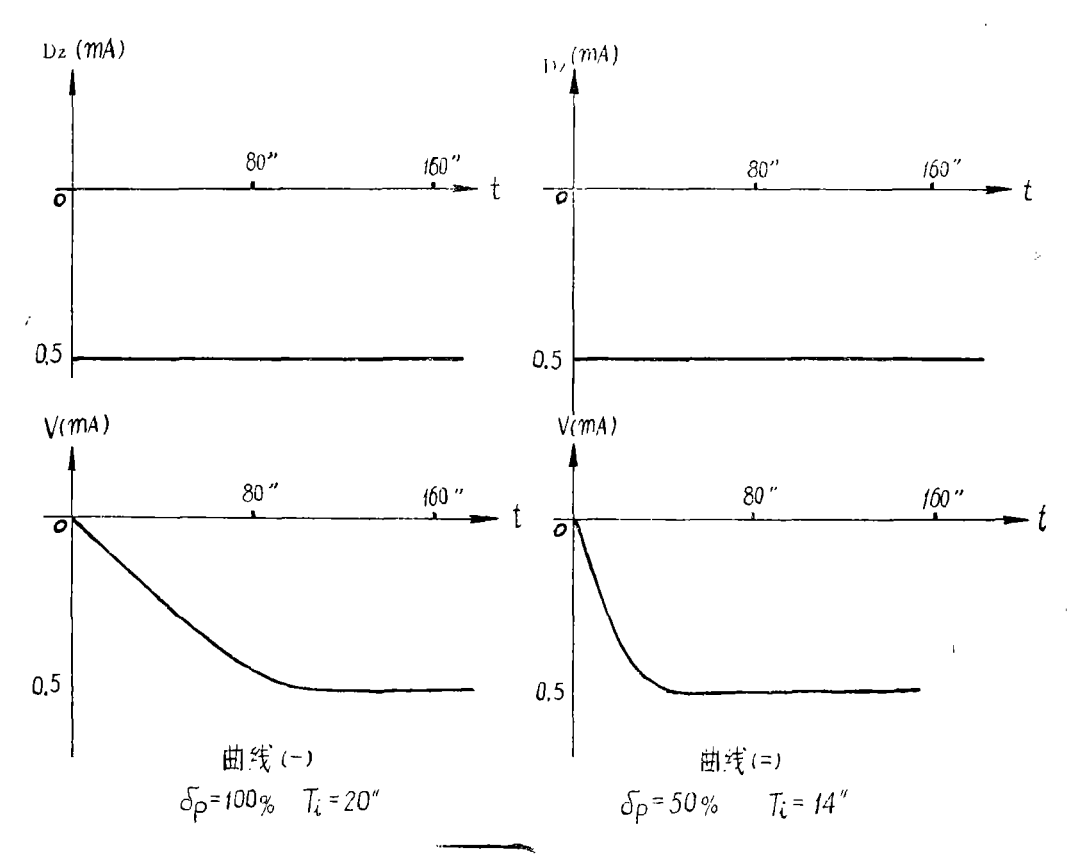


图 2-19 送风调节口定值扰动试验

最后选择送风调节口参数为:

$$\delta_{\rm P} = 80\%$$
  $T_{\rm i} = 20 \text{ M}$ 

送风调节口整定好后,将分流系数  $\alpha_D$  放在 0.7 数值,然后同热负荷调节系统一起投入自动,做负荷变动试验,以确定分流系数  $\alpha_D$  是否合适。改变固定负荷定值口定值,使 锅 炉 在新的负荷下校定下来,如果氧异仍保持后来数值不变,表明估算的分流系数  $\alpha_D$  是恰当的,如果负荷增加时氧异也增加,则说明风异增加得比灶异大,则需将分流系数减小,反之则增加。其试验结果如图 2-14 所示。从图上看出氧异基本上保持不变,能符合运行要求。

但是从曲线中可以看出,分流系数  $\alpha_D$  要放到 1.25。所以需加风景仪号分流 即  $\alpha_V$  放 在 0.8。与辰来估计  $\alpha_D=0.7$  相差较大。其辰因是第二次试验时锅炉所烧灶种不同,烧淮南 灶时  $\alpha_D$  小,烧淮北灶时  $\alpha_D$  大。灶的湿份改变, $\alpha_D$  也要作适当改变,一般  $\alpha_D$  在 0.7 到1.2 范围内变化。

因此,不采用氧异位号的送风调节系统,只有在燃烧灶种和灶的湿度比较校定传况下,才能保证锅炉燃烧的经济性。若分流系数 αn 超过 1.0 须改变风景分流系数 αv 时,则调节

田比例带  $\delta_P$  也应适当减小(即保持  $\frac{\alpha_V}{\delta_P}$ 不变)。

# 2. 采用氧房校正位号送风调节系统

氧化锆氧另计研制成功为改善送风调节系统调节质别提供了条件。氧化锆氧另计目前还在试用阶段,尚有一些问题需要不断解决。

氧化锆氧号计轨出位号与烟气含氧号关系为:

E = 
$$0.0496$$
Tlog  $\frac{20.6}{X}$  (2—23)

式中: E---氧化锆轨出位号,毫伏

T---氧化锆安装地点绝对温度, °K

X----- 烟气中自由含氧另,%

当安装地点温度为 750℃,即绝对温度 T = 1023°K 时,X 与 E 关系如下表和图2-20 所示。

X (%)	20.6	15	10	9	8	7	6	5	4	3	2	1	0.5
E (毫伏)	0	7.02	16	18.3	20.05	23.8	27.8	31.8	36.2	42.6	51.6	66.8	82.5

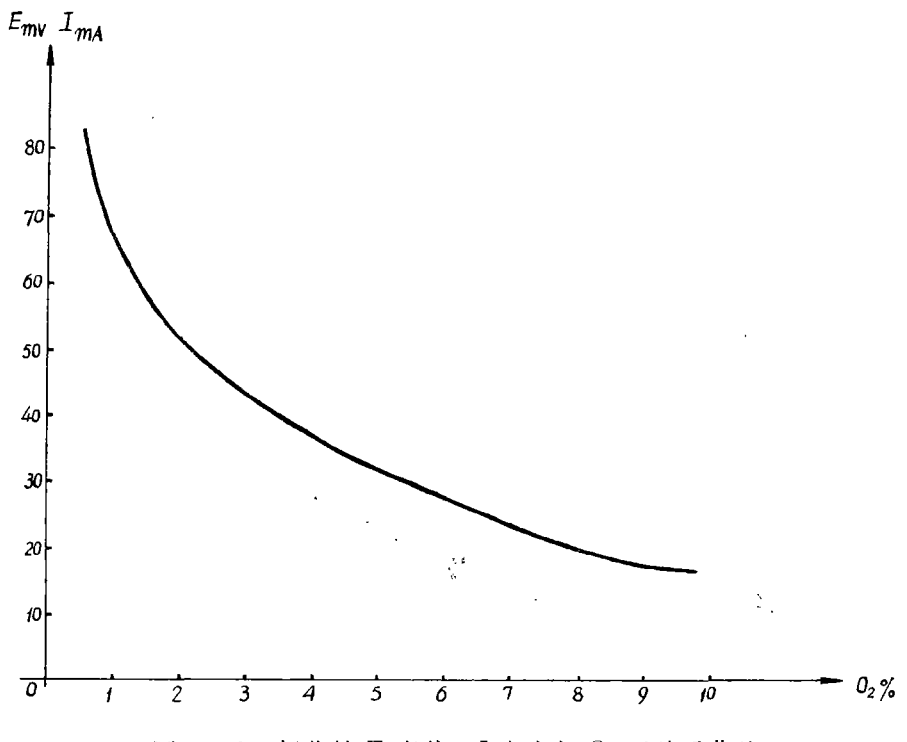


图 2-20 氧化锆 E 毫伏、I 毫安与 ○2%关系曲线

采用毫伏变送口将氧男计轨出毫伏仗号转换为  $0\sim10$  毫安直流仗号,毫伏变 送 口 量 程  $0\sim100$  毫伏,则变送口斜率  $\gamma_{02}=0.1$  毫安/毫伏,氧化锆氧量计经毫伏变送口后氧量在 4% 左右的平均斜率为:  $\gamma_{02}=0.51$  毫安/0.2%。采用氧量仗号,其送风调节系统也是串级 调节系统,由主调节口(氧量校正调节川)  $W_{P\pm}(P)$ 、付回路和对象 $W_{2}(P)$  组成主回路,由付调节口(送风调节口) $W_{Pf}(P)$ 与对象 $W_{1}(P)$ 组成付回路。

付回路和上述不采用氧量位号的送风调节系统一样,是一个近似比例 环节(K=1)。 所以简化方框图如 2-21 所示。

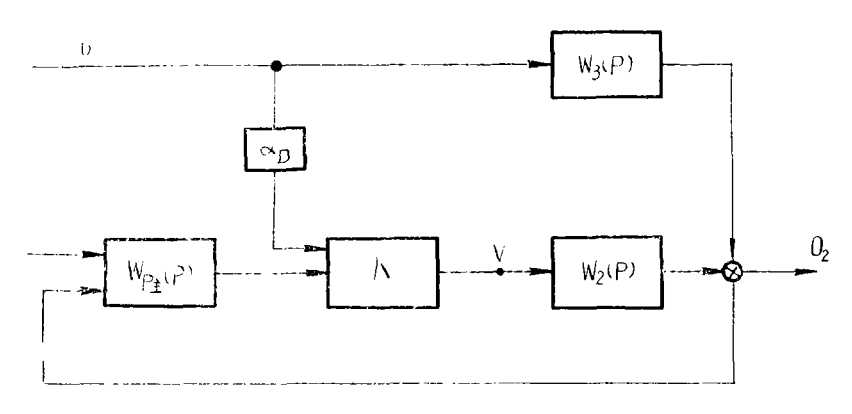


图 2-21 简化后送风调节系统

从图 2-21 看出,送风调节系统可以看作是带有负荷定值  $D_z$  前馈调节的单回路调节系统, 其被调量  $O_z$  在内扰和外扰时闭环传递函数为:

$$W_{02}(P) = \frac{W_{2}(P)}{1 + W_{p\pm}(P) \cdot W_{2}(P)} - \mu_{V} + \frac{W_{2}(P) \cdot \alpha_{D} - W_{3}(P)}{1 + W_{p\pm}(P) \cdot W_{2}(P)} D_{Z}$$
 (2-24)

对于这样的调节系统的整定,其调节过程衰减率 \(\psi\) 可取得大一点,提高内回路的校定性。 当有外扰时(主要是负荷扰动),可通过前馈调节来提高调节过程快速性和减少动态偏差。

#### (1)主调节四(氧量校正调节四)整定

主调节 $\Pi$  Wp±(P) 参数根据内扰对象动态特性 W<sub>2</sub>(P) 用平方误差百积最小准则 来 选择。

取
$$\psi = 0.998$$
 (m=1)

$$\delta_{\rm F} = 1.19 \, {\rm K}_{\rm I} = 1.19 \times 1.8 = 2.14 = 214\%$$
  $T_{\rm i} = 1.45 \times {\rm T} = 1.45 \times 29 = 42 \, {\rm P}$ 

#### (2)分流系数 an 整定

$$W(P) = \frac{O_2}{D_2} = \frac{W_2(P) \cdot \alpha_{\hat{H}} - W_3(P)}{1 + W_{p} + (P) \cdot W_2(P)} = 0$$
 (2-25)

负荷扰动时灶量变化,氧异  $O_2$  也发生变化,则前馈调节口  $\alpha$ 前 不等到主调节口轨出 佼

号变化就去改变风量 V, 使氧量保持不变。从理论上可以做到:

$$W_{2}(P) \cdot \alpha_{\hat{H}\hat{I}} - W_{3}(P) = 0$$

$$\alpha_{\hat{H}\hat{I}} = \frac{W_{3}(P)}{W_{3}(P)}$$
(2-26)

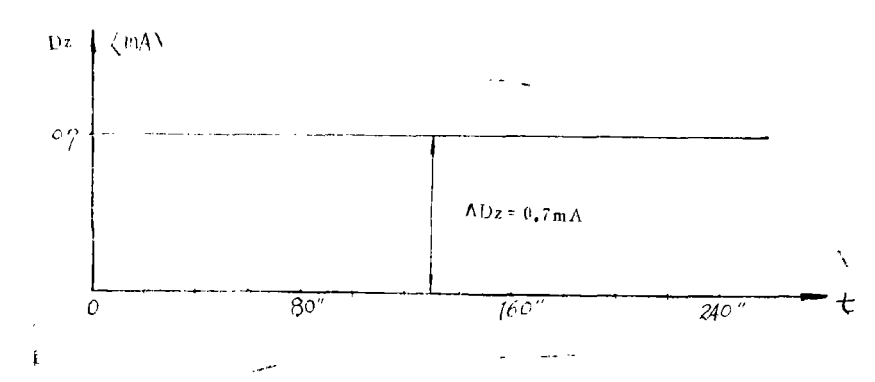
前馈调节口的动态特性和参数根据外扰对象动态特性  $W_a(P)$  和内 扰 对 象 动 态 特 性  $W_a(P)$  之比来选择。但当  $W_a(P)$  和  $W_a(P)$  之比是一个高阶(或超越)传递函数,则在工程上前馈调节口就很难实现,所以一般前馈调节口采用比例或比例微分调节规律实现近似不变性后理。送风调节系统中由于  $W_a(P)$  和  $W_a(P)$  动态特性相差不多,所以前馈调节口可以用比例调节规律。

即 
$$W_{ij}(P) = K_{ij} = \alpha_{ij}$$

参数 α前 整定为:

$$\alpha_{\text{HI}} = \frac{W_3(P)}{W_2(P)} = \frac{\frac{1.16}{(1+29p)^2}}{\frac{1.8}{(1+29p)^2}} = 0.65$$

根据估算参数在现场进行定值扰动试验,基本符合要求,见图 2-22。



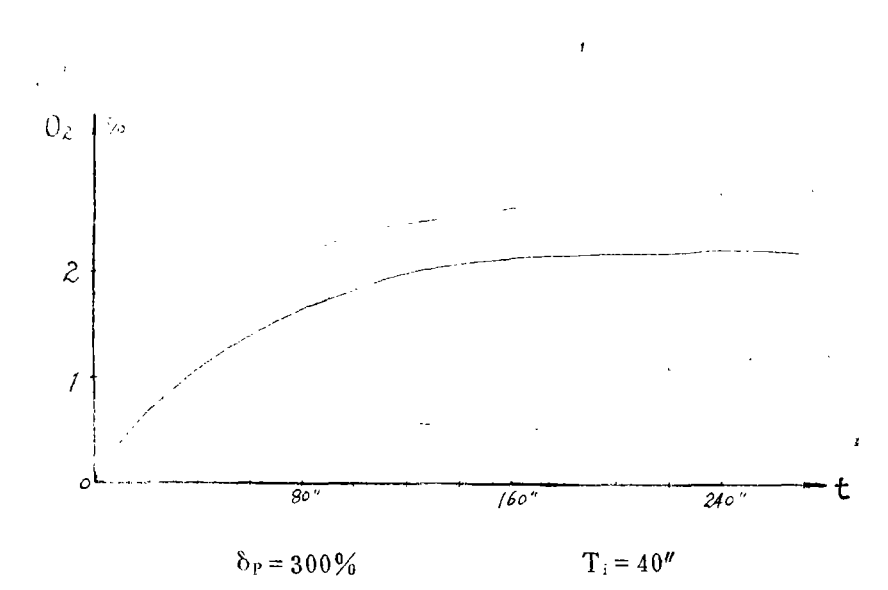


图 2-22 氧量定值扰动试验曲线

在送风调节系统投入过程中,曾发现  $\alpha_{\rm fi}(0.8)$  放置太大引起氧身波动。开始以为大回路不秋定,故提高过程衰减率,即取衰减系数 m=2,后经分析,  $\alpha_{\rm fi}$  放得太大,即前 馈 仗 号强,使送风调节口产生过调。后将  $\alpha_{\rm fi}$  减小( $\alpha_{\rm fi}$  = 0.7),主调节口比例带  $\delta_{\rm P}$  也 适 当 放小(衰减系数 m=1),调节系统仍能校定运行。

目前主调节口和 α前 放置参数为:

$$\delta_P = 300\%$$
  $T_i = 50$   $\delta_P = 0.7$ 

对于送风调节系统的几点看法:

- (1)送风调节口整定层则是时间常数  $T_i$  取得较小(一般  $10\sim20$  秒),比例 带  $\delta_P$  设 置得使调节系统不产生振荡为准。
- (2)分流系数  $\alpha_D$  根据蒸汽流男 D 和风男 V静态配比求得。在灶种、给水温度等不变惨况下,不采用氧号仪号的送风调节系统能够满足运行要求。但在灶种改变传况下,则氧男随着负荷变化,不能保持最佳数值。
- (3)采用氧号校正的送风调节系统,调节质号要比不采用氧号校正系统来得好,它可不受灶种等因素形响。因为可以通过主调节口加以校正,但是前馈调节口参数不能设置太大。由前述可知,分流系数  $\alpha_D$  与灶种等因素有关,其变化可从 0.7 到 1.2。为了保证系 统 校定性,分流系数 D 按较小值放置。
- (4)从试验看来,采用磁性氧号计作为校正**仗号还存在一**些问题,还不能满足送风调节系统使用要求。对采用氧化锆氧号计作为氧号校正**仗号能够达到送风调节系统的要求**。

#### (四)负压调节系统

炉膛负压调节系统主要是保证锅炉燃烧校定。一般炉膛负压保持在-2毫米水柱左右。负 压调节系统是一个单回路调节系统,其层理如图 2-15 所示。方框图如图 2-23 所示。

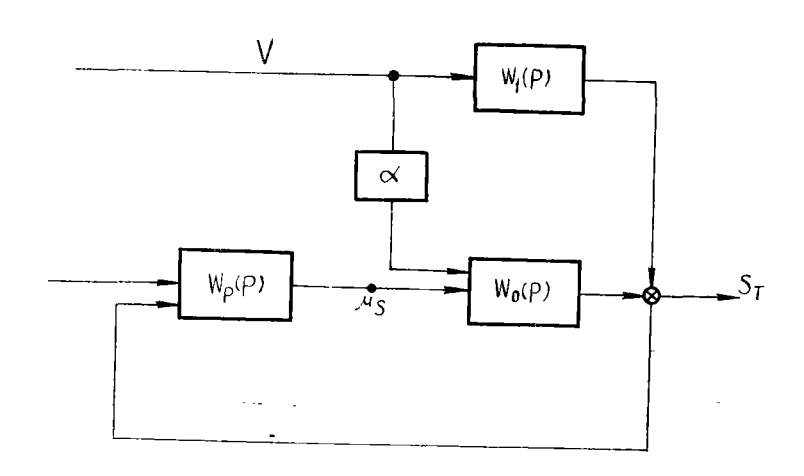
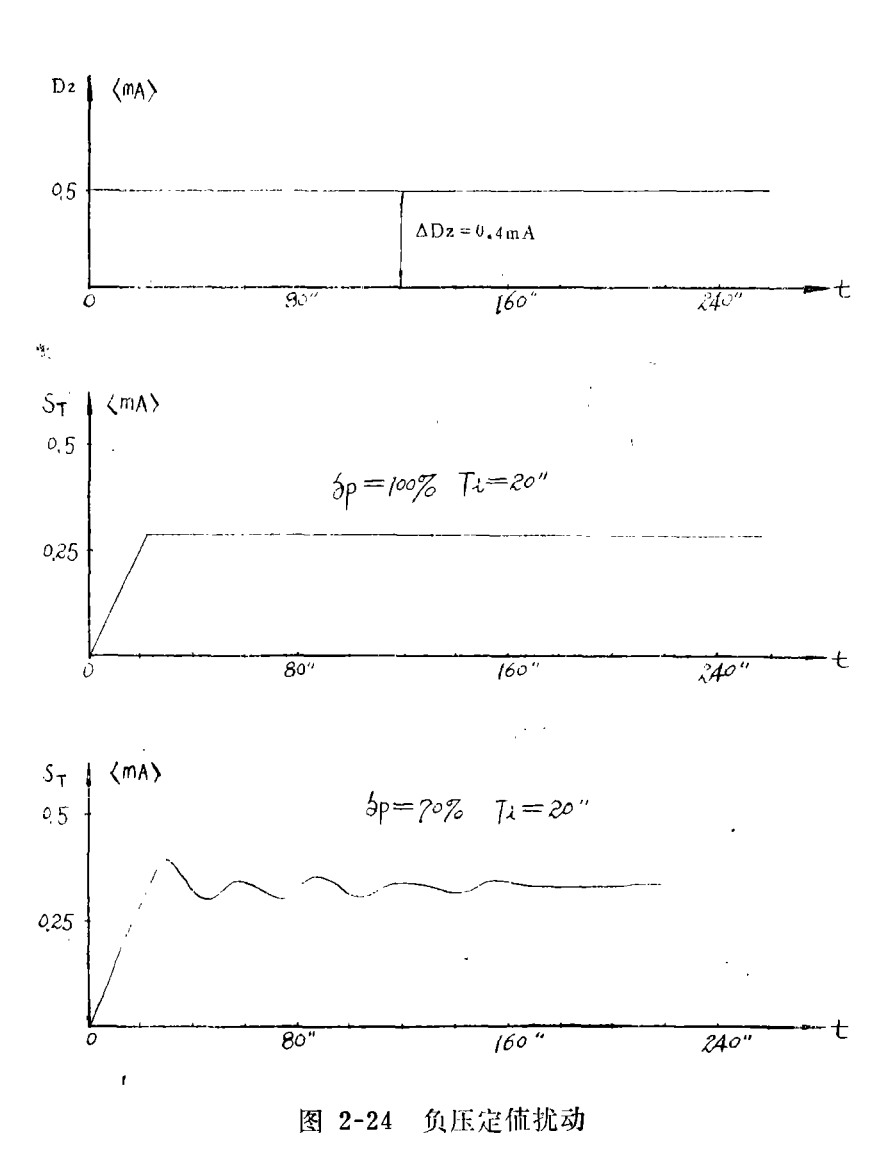


图 2-23 负压调节系统方框图

由于负压仗号经常波动,一般在负压变送口前后加入阻尼装置(机械或电气阻尼口), 以减少轨出仗号波动,但同时也增加了对象 W。(P)的惯性。一般炉膛负压在内扰下对象 动 态特性  $W_{o}(P)$ 基本上是一个比例环节,所以对这样调节系统的整定方法可同送风 调 节系统一样,用现场试验整定法。就是将负压调节口  $W_{P}(P)$ 的时间常数  $T_{i}$  放置在10~20秒左右,然后改变不同比例带  $\delta_{P}$ ,经定值扰动试验,使调节过程既校定又近似一个比例环 节。 如 图 2-24所示。



负压调节口整定参数为:

$$\delta_{P} = 100\%$$
  $T_{i} = 20 \%$ 

负压调节系统的主要扰动来沉于风景变化,因此在负压调节系统中采用了风景仪号作为 负压调节口的前馈仪号。当风景变化时,通过前馈仪号同时改变引风机挡板开度,使炉膛负 压基本保持不变,稍有出入再由炉膛负压定值反馈调节系统进行调节。

风景前馈位号 av 根据前馈调节不变性后理进行整定。从方框图 2-23可以看出;

$$W(P) = -\frac{W_1(P) - \alpha_V \cdot W_0(P)}{1 + W_0 P \cdot W_P(P)} = 0$$
 (2-27)

$$\alpha_{V} = \frac{W_{1}(P)}{W_{0}(P)}$$

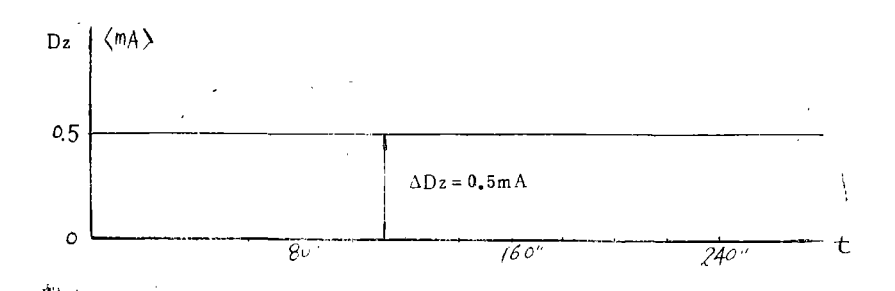
因此求得  $W_1(P)$ 和  $W_0(P)$ ,则可求出  $\alpha_{V_0}$ 

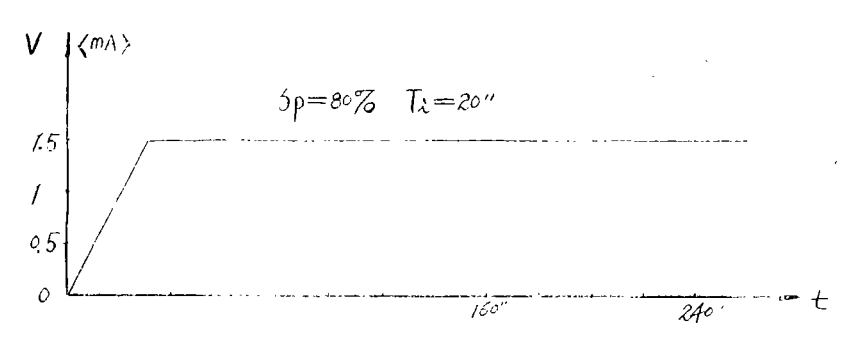
一般可通过试验求得: 先将负压调节系统投入自动,阶跃改变送风挡板开度  $\mu_{V}$  到 炉 膛 负压较定,记录风务变化数值  $\Delta V$  (毫安)和引风机挡板开度  $\mu_{S}$ 。

试验结果: 风身变化  $\Delta V \approx 0.87$  毫安,引风机挡板开度变化  $\mu_S = 0.52$  毫安,炉膛 负 压才保持不变(一台引风机投入自动)。

则前馈位号 av 为:

$$\alpha_{\rm V} = \frac{W_1(P)}{W_0(P)} = \frac{\mu_{\rm S}}{\Delta V} = \frac{0.52}{0.87} = 0.6$$





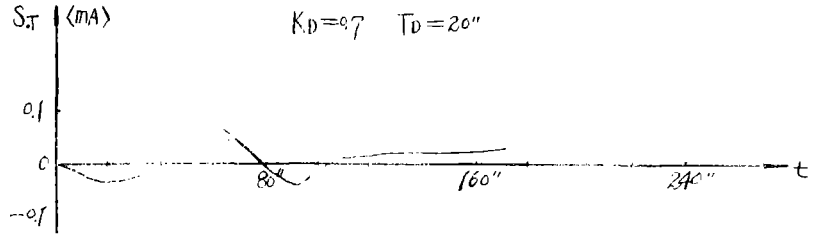


图 2-25 风景扰动试验(加动态联系)

实际前馈控制是用微分口经负压调节口来实现的, 所以

$$\begin{split} \alpha_V &= -\frac{\mu_S}{\Delta V} - = W_D(P) \times W_P(P) = 0.6 \\ \frac{K_D T_D P}{1 + T_D P} \times \frac{K_P (1 + T_i P)}{T_i P} &= 0.6 \\ \text{In } T_D &= T_i \qquad \text{Means } K_D K_P = 0.6 \\ K_D &= -\frac{0.6}{K_P} = 8_T \times 0.6 = 0.6 \end{split}$$

式中 $\delta_P$ 、 $T_1$ 是负压调节四参数,在整定负压调节四时已选择好。

因DTL—410 微分田最小微分增益  $K_D=1$ 。 所以为了减小  $K_D$  在微分田**執入辺辺上并** 联一只 2 K电阻,使 $K_D=0.6$ 。

微分口实际参数为:

$$K_D = 0.7$$
  $T_D = 20$  秒

前馈仪号 αv 估计后, 确定其是否合适, 还需在现场做送风风暑扰动试验。 试验曲线如图 2—25 所示。由曲线可知, 基本上能符合运行要求。

# 三、锅炉随动控制系统改进

#### (一)概述

由锅炉调压力,汽机调功率,锅炉负荷随着汽机负荷的变化而变化,这是目前母管制汽 鼓锅炉电厂采用的称为锅炉随动控制系统的控制方式。如图 3—1 所示。我厂同样也采用这种 控制系统。

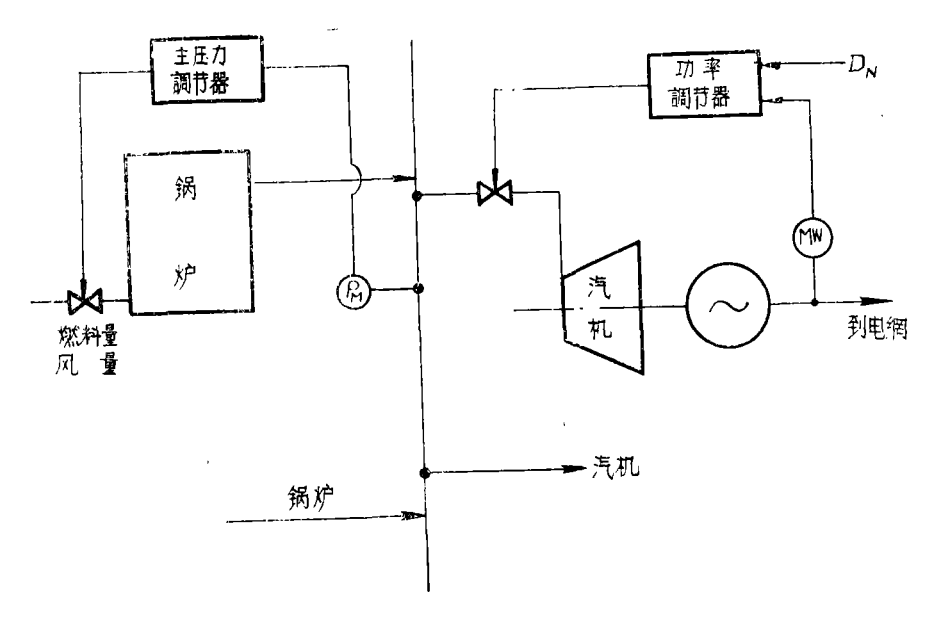


图3-1 锅炉随动控制系统图

其工作后理是: 当电网要求电厂负荷增加时,则改变功率定值四定值,通过功率调节四或手动操作去控制汽机同步四开度  $\mu_T$ ,开大调速汽门,增加汽机进汽房,使汽轮发电机组功率立即增加到所要求的出力。因汽机负荷增加,母管压力  $P_M$  降低,通过主压力调节四去控制燃料房和风房,使锅炉蒸发房满足汽机负荷变化需要,以保持母管压力 $P_M$  不变。如果负荷增加不大,则瞬时利用锅炉的蓄热,母管压力变化也不会太大。但是在负荷变化 大 的 恃 况下,由于锅炉燃烧系统的迟延,母管压力变化就大,对锅炉燃烧调节系统就不易较定,尤其对于燃烧系统迟延大、蓄热系数小的锅炉更为突出。因此面流锅炉就不能单采用这种控制方式,就是对于面吹式制粉系统的汽鼓锅炉也是不利的。为了既不形响机组负荷轨出特性,又

## (二)加功率定值前馈控制锅炉随动系统

## 1. 工作层理

加功率定值前馈控制锅炉随动 系 统 如 图 3-2 所示。由汽机功率定值口定值仪号经加法 四 (二台汽机功率定值口定值仪号同时轨入到加法口,将加法口分流系数放置在 0.5。图中未 画出)得到全厂总功率,作为前馈控制仪号轨入到DTL—331主压力调节口的微分通辺,构成汽机对锅炉的前馈控制。根据电网要求,需增加汽机负荷时,则改变功率定值口的定值,同时经微分口 W<sub>P</sub>(P)和主压力调节口 W<sub>r</sub>(P)

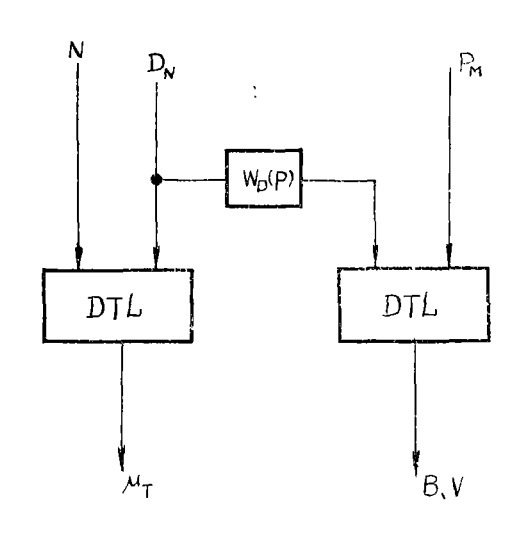
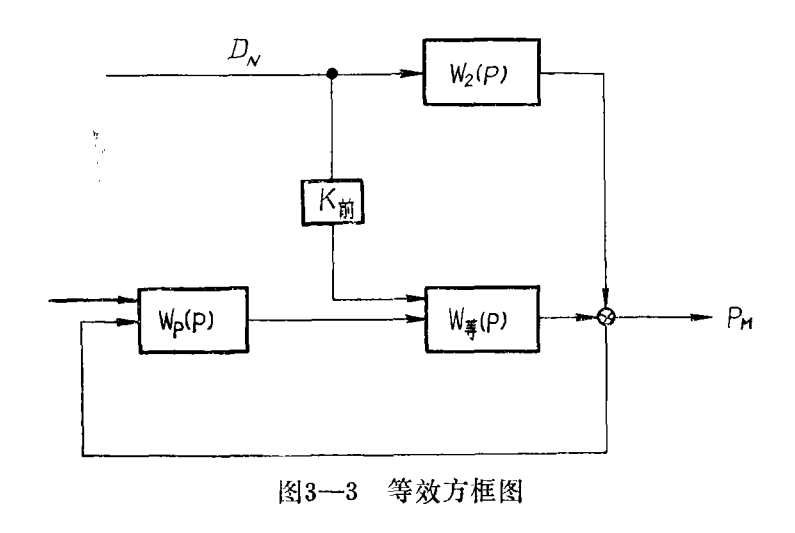


图3-2 加前馈控制锅炉随动控制系统图

去指挥热负荷调节口和送风调节口控制进入炉膛的燃料景和风景,以减少母管压力  $P_M$  的 变动。最后通过母管压力定值反馈系统,以保持母管压力为额定值。

#### 2. 前馈调节口参数整定

加功率定值前馈控制的锅炉燃烧调节系统等效方恒图如图 3-3 所示。



<del>-- 41 --</del>

图中 $W_{\bullet}(P)$ 是汽机功率扰动(外扰)时母管压力 $P_{M}$ 对象动态特性, $W_{\Xi}(P)$ 是内扰等效 对象动态特性, W<sub>P</sub>(P)是主压力调节口。这里前馈调节口W前(P)采用比例调节规律。

 $W_{in}(P) = K_{in}$  实际上它是由微分口和主压力调节口来实现的。

图 3-3 中对象动态特性由前试验已知,

二机二炉时:

$$W_{\$}(P) = -\frac{1}{1+30P} - \frac{0.006}{P}$$
 毫安/毫安

一机一炉时:

$$W^{\text{\( \heta \)}}(P) = \frac{1}{1+30p} \cdot -\frac{0.012}{P}$$
 毫安/毫安

$$W_{2}(P) = \frac{\Delta P_{M}}{\Delta N} = 0.6 (1 + \frac{1}{50p})$$
 安毫/安毫

主压力调节IUW<sub>P</sub>(P)的参数在整定主压力调节系统时已得出,

二机二炉时:

$$\delta_P = 20\%$$
  $T_i = 180$  秒 一机 — 炉.

$$\delta_{\rm P} = 40\%$$
  $T_{\rm i} = 180 \, \text{Fb}$ 

对于前馈调节四 W前(P)的参数 K前可用平方误差百积最小准则来估算\*。对内扰对象

动态特性 W 等 (P) 为: 
$$W$$
 等 (P) =  $\frac{1}{1+Tp} \cdot \frac{\varepsilon}{p}$ 

外扰对象动态特性  $W_2(P)$  为:  $W_2(P) = K_2(1 + \frac{1}{T_{2D}})$ 

主调节田 
$$W_P(P)$$
为:  $W_P(P) = K_P(1 + \frac{1}{T_i p})$ 

则前馈调节口的参数 
$$K_{\hat{n}}$$
 为:  $K_{\hat{n}} = \frac{K_2}{\epsilon T_2} - \frac{K_P K_2 T}{T_i}$  (3-1)

将上述数据代入(3-1)式得到:

二机二炉时:  $K_{\text{前}} = 0.75$ 

单机单炉时:  $K_{\text{fi}} = 0.75$ 

$$W_{ij}(P) = K_{ij} = \alpha \cdot W_D(P) \cdot W_P(P) = \alpha \cdot \frac{K_D T_D P}{1 + T_D P} \times \frac{K_P (1 + T_i P)}{T_i P}$$

<sup>\*</sup> 关于前馈控制的整定计算方法详见另文。

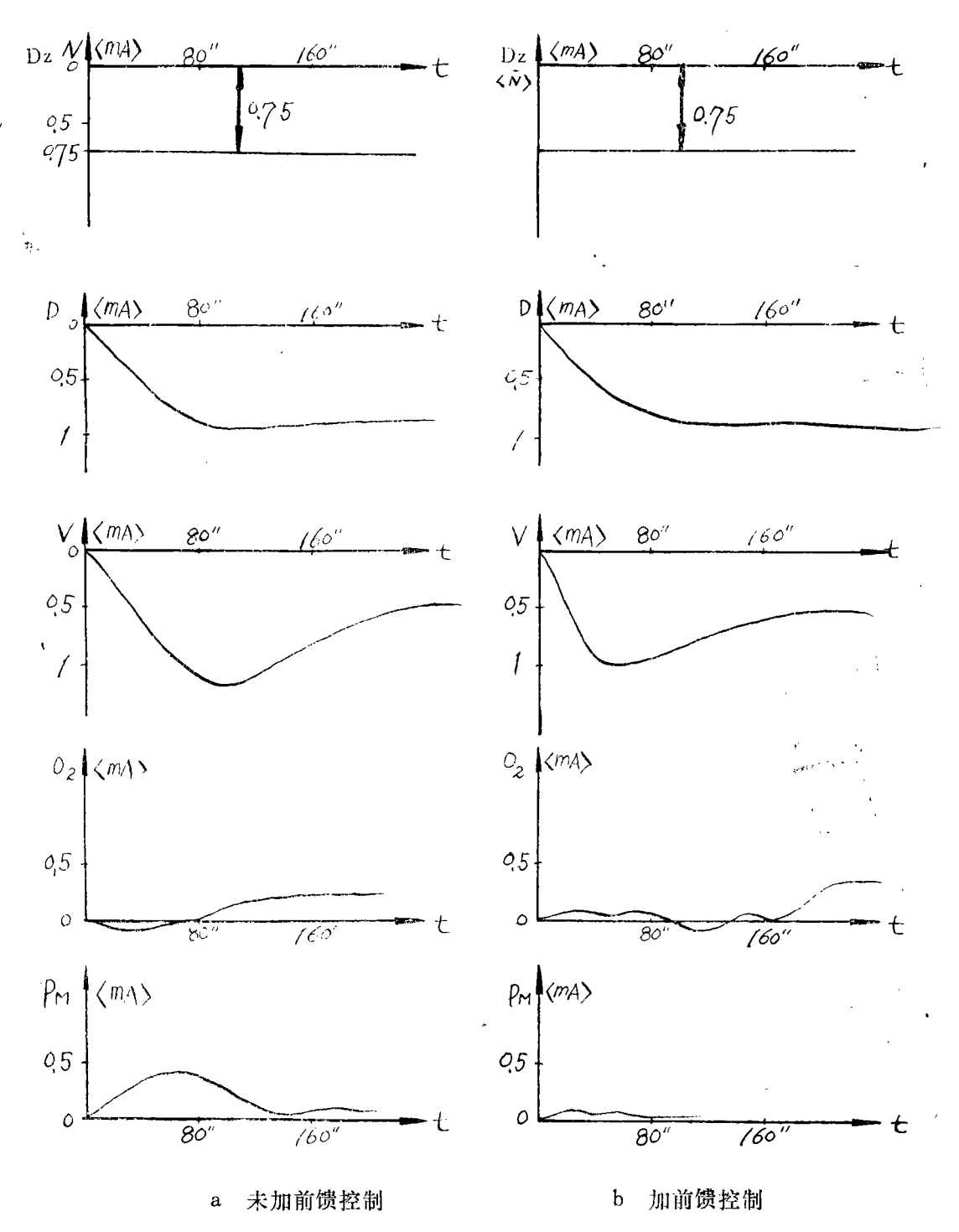


图3-4 电负荷扰动试验曲线

式中:

 $\alpha = 0.5$  加法口分流系数

W<sub>D</sub>(P): DTL-331 微分通辺

取微分口时间常数 Tn 等于主压力调节口时间常数 Ti 为 180 秒,则微分口增益为:

$$K_{D} = \frac{K_{\overline{M}}}{K_{P} \cdot \alpha}$$
 (3-2)

将数据代入式(3-2), 计祘得到微分口增益KD为:

二机二炉时:  $K_D = 0.3$ 

单机单炉时:  $K_D=0.6$ 

根据估祘数据,在现场进行了试验,其功率扰动试验结果如图 3—4 所示。从图中 可 看出,加了前馈控制后,其母管压力 $P_M$ 变化就小,从而提高了调节系统调节质景。

# 四、功率自动调节系统

#### (一)概述

他着工农业生产的飞速发尸,供电比较紧张,电网系统周率曾一度较低,且在高峰及低谷负荷时,系统周率变化幅值大、速度快。由于汽机调速装置的作用,系统周率的升高或降低,引起汽机油动机的关小或开大,带动了调速汽门的关小、开大,使汽轮发电机的有功功率减小与增大,增加了锅炉燃烧调节系统的外部扰动,使反映锅炉轨出蒸汽量与汽机用汽量平衡关系的母管压力发生变化。

而凡粉 直吹式锅炉的特点是:锅炉燃烧系统对象的延迟较大(约30~45秒),这样,当 电网系统周率变化时,汽机负荷亦随着变化,锅炉燃烧自动调节系统调节频繁,不能取得很 好的调节效果,必然会形响锅炉燃烧系统的校定。为此,在汽轮机上加装了功率自动调节系 统。当电网周率发生变化时,有了功率自动调节系统,就会自动改变汽机同步口开度,而保 持汽轮发电机出力不变,亦就减小了对母管压力的扰动,提高了锅炉燃烧系统的校定性和调 节质量。

此外,在电网每天高峰及低谷负荷时,系统周率变化的速率很大,使汽轮发电机组的负荷变化也大,有时会超过发电机最大出力。而电气运行人员必须操作汽机同步口以保持发电机的一定出力(据观察,当周率变化速率最大时,运行人员需每分钟操作一次),而功率自动装置的投入,对于减轻运行人员的劳动强度,也起了很大的作用。

必须指出的是: 当系统周率升高,汽机转速升高,汽机的调速系统动作,关小调速汽门,降低发电机有功功率,使电网周率下降,对电网周率校定是有利的。但在加装功率自动调节装置后,当周率升高,汽机调速系统关小调速汽门降低有功功率时,功率自动调节装置反而要开大调速汽门,以保持发电机有功功率的恒定,显然对整个电网的周率调节来说是不利的。但是从目前来说,系统周率的升高还不能达到额定值,并不意味着电网发电量已经满足用户用电的需要,同时就一个小容量的电厂机组来说,也无法参加电网调频,只有在不形响机组安全运行情况下,争取多发电,满足工农业生产增长的需要。

所以汽轮发电机的功率自动调节系统的加装和投入,对机组**的**校定运行和减 轻 劳 动 强 度,都起了重要作用,受到运行人员的欢迎。

## (一)功率自动调节系统概况及电气保护回路

### 1. 功率自动调节系统概况

电功率自动调节装置的作用,是在系统周率发生变化时保持汽轮发电机的功率。其调节系统后理方框图示于图 4—1。

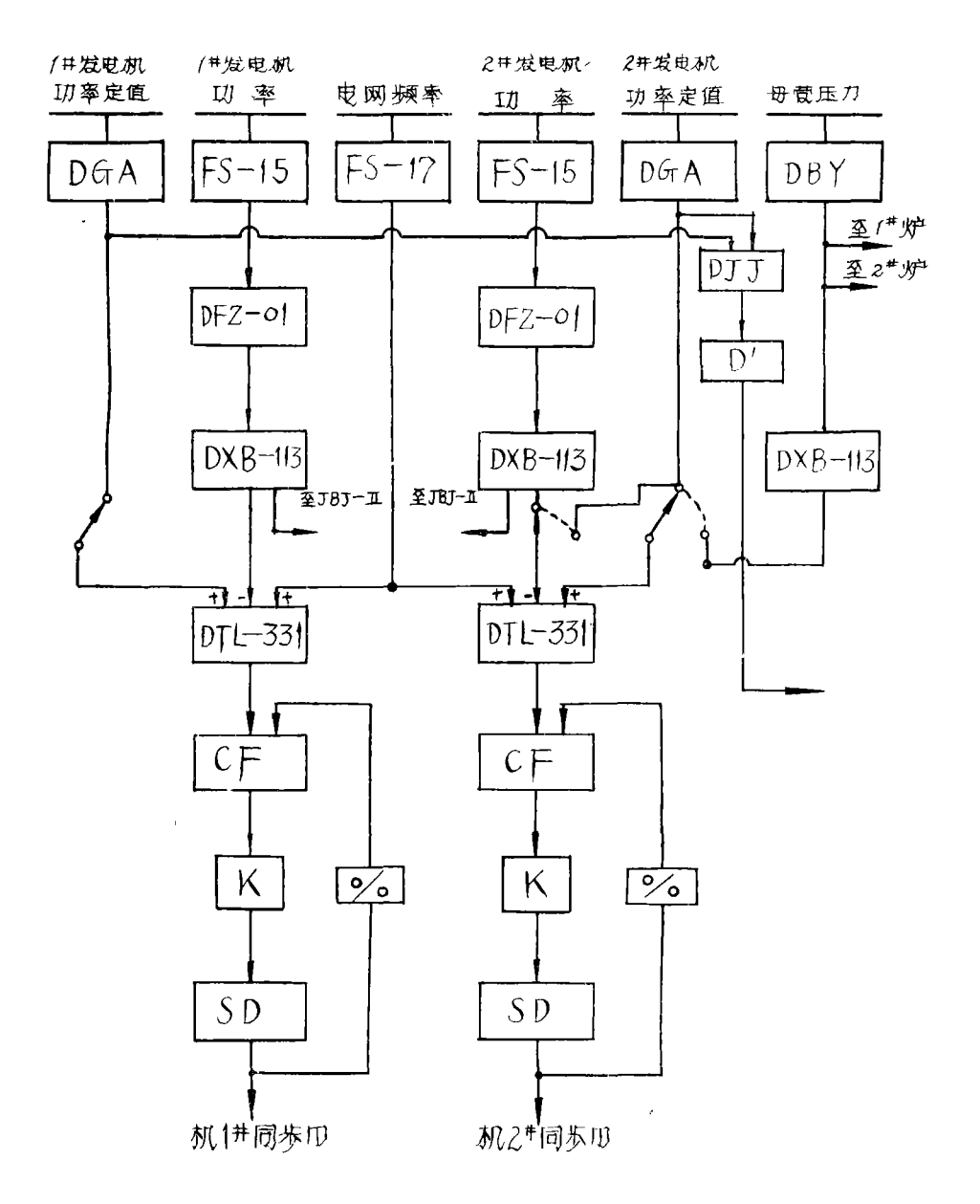


图 4-1 功率自动调节系统后理图

为了提高功率自动调节系统调节质量,在功率自动调节系统中加入系统周率前馈仪号,就是当系统周率发生变化时,由于汽机调速装置作用,会使发电机功率增大或减小,这时功率自动调节系统因接受系统周率前馈仪号,不等到功率仪号的变化就去控制交直流串激电机,改变同步口开度,抵消因系统周率变化而引起调速汽门变化量。以保持发电机功率不变,从而提高了调节质量。

## 2. 电气操作及保护回路

现采用以磁放大口轨出直接控制交直流串激电机,并为减少电机惰走,采用FRW—1磁饱和校压口供给电流,既校定电压,又将磁放大口电流电压由后来的~205伏下降为~120伏,使同步口全程调节时间增大为90秒,降低同步口调节速度,惰走减为后来的1/4,以提高调节系统小回路的校定性。考虑到手动时采用交流操作不如后先直流操作系统安全,所以设计中保留了后来的直流操作系统。功率调节操作及保护回路后理图见图4—2。

功率自动调节系统是一个单回路调节系统,尽管系统并不复杂,但对其可靠性要求很高,因为对机组安全运行的形响很大,万一发生发电机母线及电网线路等故障,功率自动调节系统不应发生误动作而扩大事故。为确保调节装置安全运行,在调节系统中加装了功率保护、同步口开度保护、一次油压保护,以及母管压力高低报警。

功率保护及同步口开度保护仅外路磁放大口(13)、(14)、(15)端子,达到单方向限制,并发出仗号,但并不切除自动调节系统。

只有当一次油压保护动作时,才通过CJO中间继电口,将自动调节系统切除,串激电机切换到直流 220 伏手操回路中。当事故消除后,揿下复置按钮,才能将功率自动系统继续投入运行。

#### (三)现场准备工作和设备安装

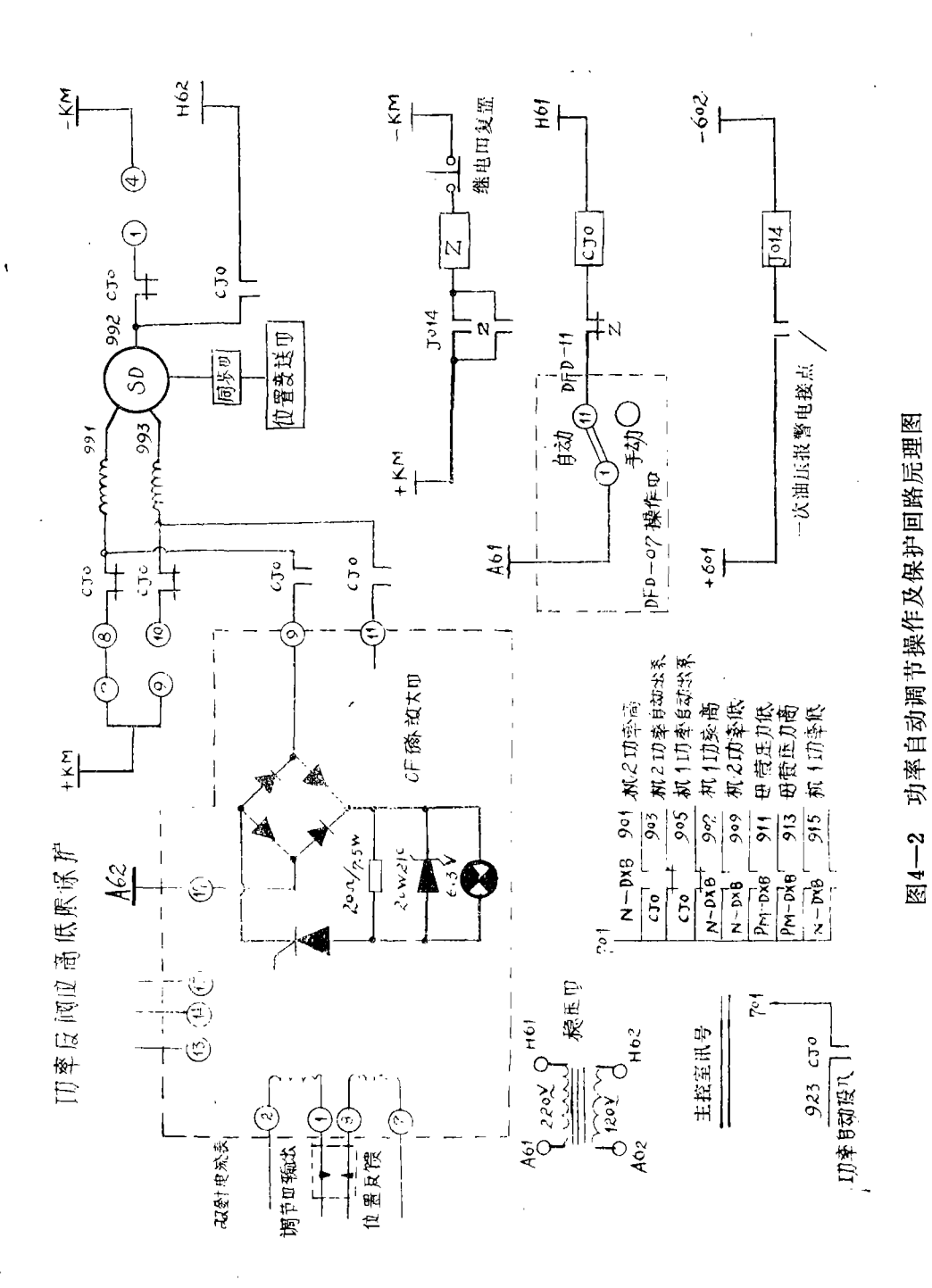
投入功率自动调节系统,需进行大量的现场准备工作。主要的有以下几项:

#### 1. DFZ-01 阻尼田的改进

由于FS—15三相有功功率变送出氧出为0-1 毫安直流仪号,而DDZ—I 型电动单元组合仪表中,统一仪号为0-10 毫安,为使仪号匹配,需将FS—15 的氧出仪号放大 10 倍。由于功率仪号经常晃动,加装了DFZ—01 电气阻尼口,为简化设备,不另外增加放大设备,将阻尼口进行改装,使既起阻尼作用,又起放大作用。阻尼口轨入电阻  $R_1=1.2$  千欧,现改为 2.41 千欧,可使仪号放大二倍,同时将及馈电阻 $R_{111}=1$  千欧改为 200 欧,即反馈量减小五倍,使总的放大倍数达到 10 倍。这样,在经过DFZ—01 阻尼口后,使轨入为 0-1 毫安直流仪号,轨出达到 0-10 毫安。

#### 2. DTL-331调节口改装

在功率自动调节系统中,由于考虑了机炉的联合调节,加装了锅炉的功率前馈仪号,而功率前馈仪号由定值口引出。当采用调节口内部定值时,前馈仪号引出困难,所以采用了外部定值。为保证安全,将调节口的内给定电位口外路,并将偏差指示表改为指示第一,二通



<del>-</del> 47 <del>-</del>

辺的偏差, 便于判断调节口轨入位号平衡与否。

#### 3. 磁放大口加装动作指示灯

为便于运行人员对自动调节系统进行监视和观察调节口动作传况,在磁放大口主回路中加装了动作指示灯。在主回路中,串入一电阻(R20欧7.5 瓦)与电阻并联一较压管(2CW21C)。其后理见图(4-2)。

## '(四)功率调节对象动态特性

要可靠地最佳地投入功率自动调节系统,除了解决设备上的一些问题外,还需要了解功率调节对象动态特性,并根据对象动态特性来设计合理的调节系统和整定调节口有关参数。

形响发电机功率的扰动有: 汽机同步田开度  $μ_T$ 、电网系统周率 f 和汽机进汽压力 $P_T$ 。这里主要考虑汽机同步田开度  $μ_T$  ( 称为内扰 ) 和电网系统周率 f ( 称为外扰 ) 变化对功率的形响。

## 1. 内扰对象动态特性

对象动态特性分析 功率调节对象内扰动态特性是指汽机同步四开度  $\mu_T$  发生阶 跃 扰动时,功率 N 随时间 t 变化的特性。把对象作为一个环节来看,其轨入量是同步四开度  $\Delta\mu_T$ , 轨出量是发电机功率  $\Delta N$ 。由于锅炉与汽机的生产过程是相互联系的,所以功率对象内 扰 动态特性还同锅炉运行有关。

## (1)锅炉保持母管压力不变 $\Delta P_{M} = 0$

锅炉在保持母管压力  $P_M$ 时,汽机同步口开度  $\mu_T$  阶跃开大,汽机进汽流量  $D_T$  和发电机功率 N 也阶跃增加,这就增大送入炉膛的燃料量和风量,使锅炉轨出蒸汽量 D增加,并等于汽机进汽量  $D_T$ ,达到锅炉、汽机间的能量平衡,保持母管压力  $P_M$  不变。所以,功率调节对象内扰动态特性是一个比例环节。 其传递函数  $W(p) = K_o$ 

#### (2)锅炉保持灶量不变 $\Delta B = 0$

当锅炉灶量不变时,其同步口开度  $\mu_T$  的扰动对发电机功率N的变化特性,可以从上述燃烧调节系统中分析的、在锅炉灶房不变时求母管压力  $P_M$  在汽机同步口开度  $\mu_T$  阶跃扰 动 下的外扰对象动态特性中得出。

对前述中知辺,同步田开度  $\mu_T$  阶跃扰动时,汽机进汽房  $D_T$  变化特性是一个实 际 微 分环节,其传递函数为:

$$W_{1}(P) = \frac{D_{T}}{\mu_{T}} = \frac{K_{T}T_{T}P}{1 + T_{T}P}$$
 (4-1)

忽略进汽压力  $P_T$  变化对汽耗的形响,则汽机进汽景  $D_T$ 与发电机功率N的关系仍为:

$$W_2(P) = K_0 \tag{4-2}$$

就可求出汽机同步Ⅲ μτ 扰动下的传递函数为:

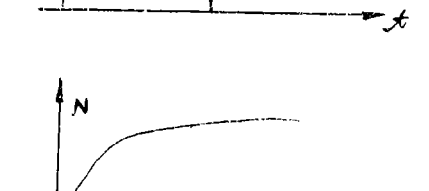
$$W(P) = W_{1}(P) \cdot W_{2}(P) = \frac{K_{0}K_{T}T_{T}P}{1 + T_{T}P} = \frac{K_{N}T_{T}P}{1 + T_{T}P}$$
(4-3)

## (3)求取功率调节对象动态特性

用试验方法求取功率调节对象动态特性。其曲线见图 4—3。根据动态特性曲线,可求出其传递函数为:

W(P) = 
$$\frac{1.7}{1+20p}$$
 毫安/毫安  
=  $\frac{0.61}{1+20p}$  兆瓦/% (4-4)

功率调节对象内扰动态特性实际是一个一阶惯性环节,这同前百分析的对象动态特性是一个比例环节有些差别。其后因在于:功率变送口后的阻尼口包括在对象动态特性内,同步口开度  $\mu_{T}$  变 化 实际上不是阶跃,其动作 5 % 开度扰动身需要 5 秒时间。



 $\Delta \mu_T$ 

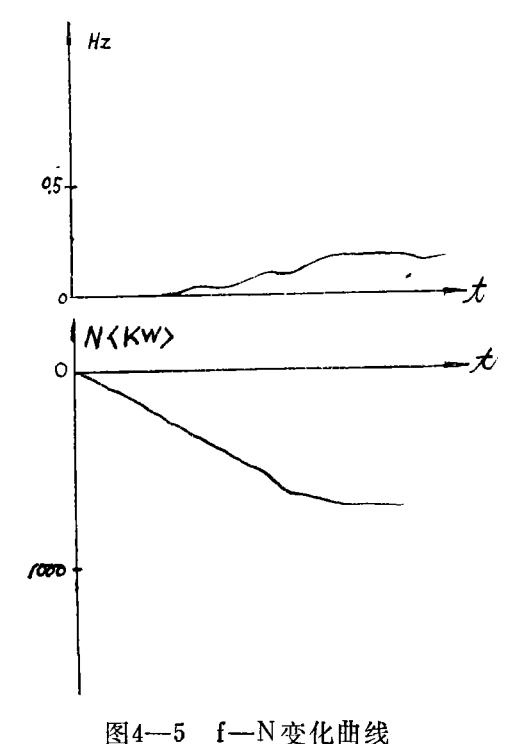
图4-3 汽机功率调节对象内抗 特性(母管压力不变)

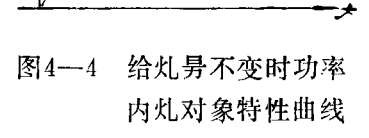
在锅炉保持给灶不变( $\Delta B = 0$ )时,做了内扰 对象动态特性试验。曲线示于(B4-4)。其动态

### 2. 外扰对象动态特性

外扰对象动态特性系指系统周率 f 在单位阶跃扰动时发电机功率随时间 t 变化的特性。但是系统周率不能人为地进行扰动,更不能按要求来产生一阶跃扰动,它是随着电网供电和

用电平衡关系进行变化。因此只能利用电网系 统周率自行变化时来观察对发电机功率变化特 性。试验所得曲线示于图 4—5。





 $\Delta \mu_T$ 

2,0112

外挄对象特性近似看作一个比例环节。

$$W_{3}(P) = K = 11.1$$
 毫安/毫安 = 10 兆瓦/赫 (4-5)

## (五)功率调节系统的整定

功率自动调节系统是一个单回路调节系统。为了改善调节系统的调节质量,加入系统周率 f 的前馈位号。前馈调节 $\Pi W_P(P)$ 采用DTL-331调节 $\Pi$ 内的微分通辺,其调节系统方框图示于图 4-6。

功率调节系统整定是根据对象动态特性来选择调节 $\Pi W_P(P)$ 的比例带  $\delta_P$ 、积分时间 $T_P$ 和 前馈调节 $\Pi W_P(P)$ 的微分增益  $K_D$ 、微分时间  $T_P$ ,使调节系统的调节过程满足运行要 求。评价调节过程品质,首先要保证调节系统的校定,然后考虑其快速性和动态偏差问题。一般以调节过程的一定衰减率  $\Psi$ 来保证系统校定性。

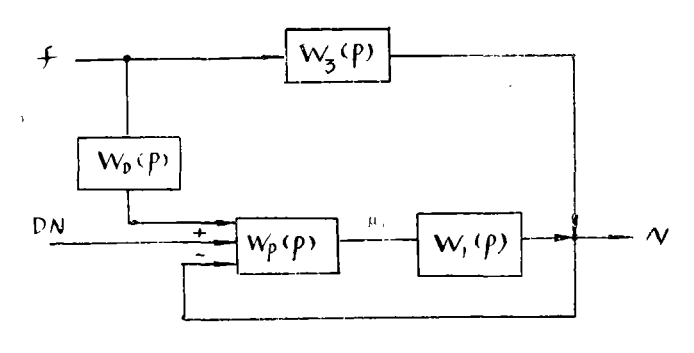


图4-6 功率调节系统方框图

从图 4-6 可求出调节对象在内扰和外扰时闭环调节系统传递函数为:

$$\Delta N = \frac{W_1(P)}{1 + W_P(P) \cdot W_1(P)} \cdot \mu_P + \frac{W_1(P) \cdot W_P(P) \cdot W_D(P) - W_3(P)}{1 + W_P(P) \cdot W_1(P)} \cdot f$$

$$(4-6)$$

其特征方程式:

$$H_0(P) = 1 + W_P(P) \cdot W_1(P) = 0$$
 (4-7)

$$W(P) = \frac{\Delta N}{\Delta f} = \frac{W_D(P) \cdot W_1(P) \cdot W_P(P) - W_3(P)}{1 + W_P(P) \cdot W_1(P)}$$
(4-8)

根据不变性层理:

$$W_{D}(P) \cdot W_{1}(P) \cdot W_{P}(P) - W_{3}(P) = 0$$

即外扰f对功率N没有影响

$$W_{D}(P) = W_{3}(P) = W_{3}(P) \cdot W_{1}(P)$$
 (4-9)

从外扰对象特性传递函数 $W_s(P)$ 、内扰对象特性传递函数 $W_1(P)$ 和调节四 $W_P(P)$ ,可求出前馈调节四 $W_P(P)$ 的参数。

1.调节 $\Pi W_P(P)$  参数  $\delta_P$ 、 $T_i$  的整定 调节 $\Pi W_P(P)$  参数  $\delta_P$ 、 $\delta_i$  的整定,根据上述整定 见,可以用表征调节对象动态特性的  $\epsilon \cdot \rho \cdot \tau$  三个参数按经验公式方法整定,也可以用其他方法整定。

下百介绍用根轨迹的方法来分析,对于对象动态特性是一阶惯性环节,调节口是用比例, 积分调节规律的单回路调节系统(其方框图示于图 4—6)。调节口参数的整定为:

系统传递函数为:

$$W_{\mathcal{F}}(P) = W_{1}(P) \times W_{P}(P) = K_{P} \left( 1 + \frac{1}{T_{i}P} \right) \times \frac{K_{1}}{1 + TP}$$

$$= \frac{K_{P} \cdot K_{1}}{T} \left( P + \frac{1}{T_{i}} \right) - \frac{K_{P} \cdot K_{1}}{P \cdot P + \frac{1}{T_{i}}}$$

$$(4-10)$$

在根平百上, 极点、零点位置示于图 4-7A。

则系统开环传递函数为:

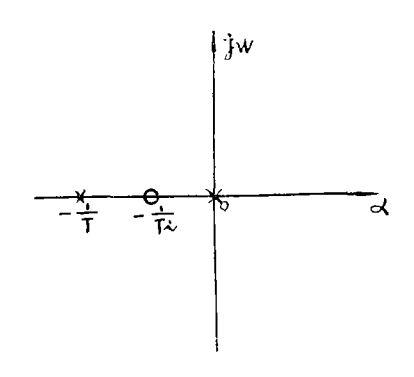
$$W_{\pi}(P) = -\frac{K_{P} \cdot K_{1}}{T}$$
 (4—11)

特征方程式:  $H_0(P) = 1 + W_{\mathcal{H}}(P) = 0$ 

$$P + \frac{K_{\Gamma} \cdot K_{\Gamma}}{\Gamma} = 0 \tag{4-12}$$

特征方程式的根只有一个负实根,当调节田参数 $K_P(\frac{1}{\delta_P})$ 从 $0\longrightarrow\infty$ ,其系统调节过程始终是一个非周期过程,调节系统是校定的。理论上调节参数 $K_P$ 可以选得很大,调节过程也不会振荡,过程衰减得快,调整过程时间就斜。

则系统开环传递函数为:



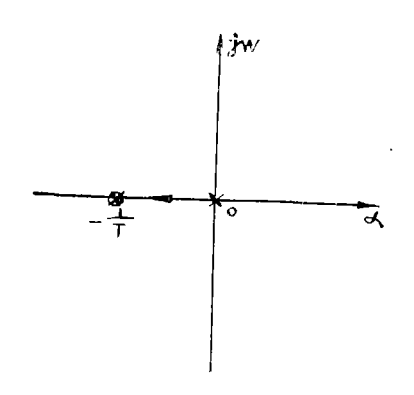
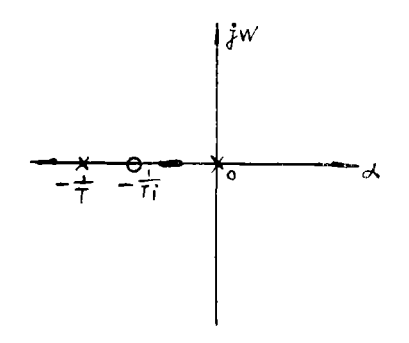


图4-7A 极点另点位置分布图

图4-7B T<sub>i</sub> = T时



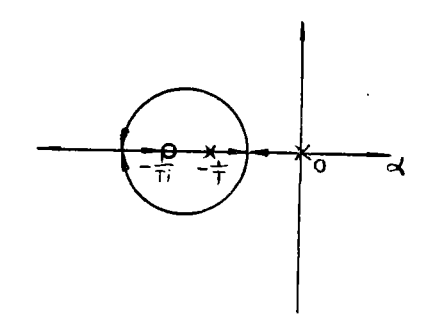


图4-7C T<sub>i</sub>>T时

图4-7D T<sub>i</sub><T时

$$W_{\mathcal{H}}(P) = \frac{\frac{K_P \cdot K_1}{T} \left(P + \frac{1}{T_i}\right)}{P \left(P + \frac{1}{T}\right)}$$

有二个极点: 
$$P=0$$
,  $P=-\frac{1}{T}$ ;

$$-$$
 个 零 点:  $P = -\frac{1}{T_i}$ 

## 其特征方程式:

$$H_{0}(P) = P (P + \frac{1}{T}) + \frac{K_{P} \cdot K_{1}}{T} (P + \frac{1}{T_{i}}) = 0$$

$$P^{2} + \frac{(1 + K_{P} \cdot K_{1})}{T} P + \frac{K_{P} \cdot K_{1}}{T T_{i}} = 0$$

$$(P + \alpha_{1}) (P + \alpha_{2}) = 0$$

$$(4-13)$$

调节田参数  $K_P \setminus 0 \longrightarrow \infty$  时,特征方程式的根是二个负实根,所以系统调节过程也始终是一个非周期过程。但调节田  $K_P$  取 $\infty$ 时,调节过程有二个衰减曲线,其中一个小的负实根的最大值  $\alpha = -\frac{1}{T_+}$ ,这就使调节过程比  $T = T_+$ 时,要衰减得慢,过程时间就长。

(3)选择 T<sub>i</sub> < T (图 4—7D) 其特征方程式:

$$H_0(P) = P^2 + (\frac{1 + K_P \cdot K_1}{T})P + \frac{K_P \cdot K_1}{T T_i} = 0$$
 (4-14)

$$2 \frac{T}{T_{i}} - 2 \sqrt{(\frac{T}{T_{i}})^{2} - \frac{T}{T_{i}}} - 1 < K_{P} \cdot K_{1} < 2 - \frac{T}{T_{i}} + 2 \sqrt{(\frac{T}{T_{i}})^{2} - \frac{T}{T_{i}}} - 1$$
(4-15)

特征方程式的根是一对共轭复根,则系统调节过程是衰减振荡过程, K<sub>P</sub> 在其他数值时,则为非周期过程,就是选择:

$$K_P \cdot K_1 = 2 \cdot \frac{T}{T_i} \pm 2 \sqrt{(\frac{T}{T_i})^2 - \frac{T}{T_i}} - 1$$
 By

其特征方程式根: 
$$\alpha = -\frac{1 + K_P \cdot K_1}{2T}$$
 。

同选择T=T;相比较,其调节过程在同样是非周期传况下,衰减得也较慢,调节过程时间 tr 也长。

经上述三种传况分析得出结论:对于一阶惯性环节,对象采用比例、积分调节口。其调节口参数比例带  $\delta_P$  和积分时间  $T_i$  的选择层则为:

- $(1) T_i = T$
- (2)调节口先放置一比例带δ<sub>P</sub>,将调节系统投入自动,然后逐步减小调节口比例带,到调节过程产生有点振荡时,则再将此时调节口的比例带放大一点就可。

根据根轨迹分析结论,再经现场试验结果,调节口参数为:

$$\delta_P = 100\%$$
:  $T_i = 20$  秒

2. 前馈调节 $\Pi W_D(P)$ 的参数 $K_D$ , $T_D$ 的整定。

根据前馈调节不变性后理,前馈调节口调节规律和参数

为: 
$$W_D(P) = \frac{W_3(P)}{W_P(P) \cdot W_1(P)}$$
 (见 4-9)

W.——内扰对象动态特性,

W。——外扰对象动态特性,

W<sub>P</sub>——调节口传递函数。

如果传递函数 $W_1(P)$ , $W_3(P)$ 是高阶或超越函数的话,则前馈调节 $\Pi W_0$ 的结构,在工程上就很难实现。所以实际上前馈调节 $\Pi$ 一般都采用比例或比例微分规律。

则上式可写成:

$$W_{1}(P) \times W_{P}(P) = \frac{W_{3}(P)}{W_{1}(P)} = \frac{K_{2}}{K_{1}}$$

$$1 + \overline{T}P$$
(4-16)

由于内扰对象特性 $W_1(P)$ 的惯性不太大,在这里近似看作一个比例环节 $K_1$ ,则上式可写成:

$$W_D(P) \times W_P(P) = \frac{K_2}{K_1}$$
 (4-17)

$$\frac{K_{\mathrm{D}} \bullet T_{\mathrm{D}} \bullet P}{1 + T_{\mathrm{D}} P} \times \frac{K_{\mathrm{P}}(1 + T_{i} P)}{T_{i} P} = \frac{K_{2}}{K_{1}}$$

式中: 
$$W_D(P) = \frac{K_D T_D P}{1 + T_D P}$$
  $W_P(P) = \frac{K_P (1 + T_i P)}{T_i P}$ 

取  $T_D = T_i$ 

则 
$$K_D \times K_P = \frac{K_2}{K_1}$$
  $K_D = \frac{K_2}{K_1} \times \frac{1}{K_P}$ 

由于 
$$T_i = 20$$
 秒  $K_P = 1(-\frac{1}{\delta_P})$   $K_2 = 11.1$ 毫安/毫安  $K_1 = 1.7$ 毫安/毫安

所以前馈调节四的参数:

$$T_D = T_i = 20$$
  $M_D = \frac{K_2}{K_1} \times \frac{1}{K_P} = 6.5$ 

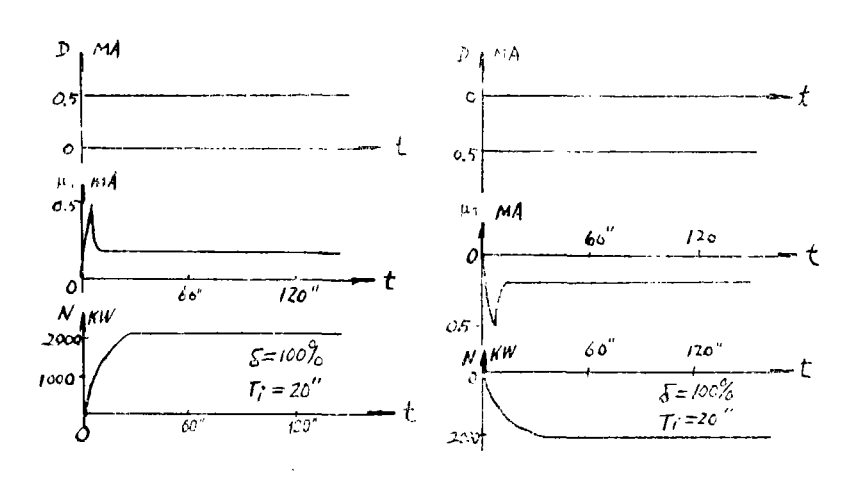


图 4-8 功率定值扰动曲线

整定的数据,经现场定值扰动试验,其结果与计标相符,定值扰动时调节过程的曲线如图4—8。

<del>-- 54 --</del>

平时,功率自动调节系统投入运行时,在周率 f 前馈**仗号未接入时**,功率基本上在±500 千瓦范围变化;在周率 f 前馈**仗号接入**时,功率基本在±300 千瓦范围变化,显然对调节过程质易有提高。

机1、机2对象动态特性相似,故其调节口整定参数放置一样。

# 五、自动跟踪及参数保护

## (一)自动跟踪的作用与原理

我厂的燃烧自动调节系统, 层设计是无自动跟踪的, 现在的自动跟踪都是在投入燃烧自动过程中加装并逐步改进和完善的。

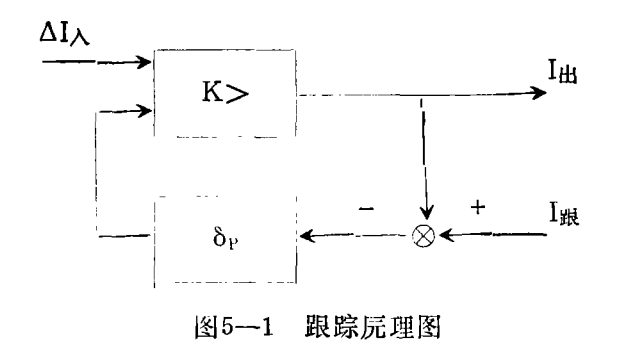
在使用DDZ仪表的调节系统中,由于调节四与执行机构是互相独立的,当执行机构手动操作时,不接受调节作用,即位置指示电流 I位与调节四轨出电流 I出 无关(I出≠I位)。在这种传况下,如果由手动切为自动,就会使执行机构位置改变(向I出方向迅速移动),造成调节机构不必要的动作,这就叫切换扰动。切换扰动对调节系统是非常有害的,会使自动调节系统难以投入,甚至造成事故,例如引风挡板开得过大,会引起锅炉熄火等异常传况。所以在投入自动前,需进行对位操作,就是将执行机构位置(I位)调到与调节轨出电流相等,即 I位=I出 然后把系统从手动切换到自动。只有经过对位操作后,才能实现手动一自动无扰切换。但是在没有自动跟踪的传况下,对位操作费时多,麻烦。 且由于调节四轨出电流 I出随轨入偏差仪号和积分调节规律不断变化,运行人员需观察被调号参数和定值无偏差或偏差很小时,将执行机构位置调到与调节四轨出电流 I出 相等时,才能投入自动。为了方便运行人员手动一自动切换操作,缩外投入自动的时间,我厂加装了调节四的自动跟踪线路。

所谓自动跟踪,就是在手动时使调节口的软出电流 I出 始终跟随某一跟踪仪 号 I<sub>跟</sub> 或 执行机构位置反馈电流 I<sub>位</sub> 的变化而变化。

当调节口轨入偏差 $\Delta_{\Lambda}=0$  时,使  $I_{\rm LL}=I_{\rm RL}$  或  $I_{\rm LL}=I_{\rm CL}$ 。这时投入自动就可实现手动一自动无扰动切换。

在单回路调节系统中,  $I_{\mathbb{R}}$  就是  $I_{\dot{\Omega}}$  ,在串级调节系统中,付调节口的  $I_{\mathbb{R}}$  是  $I_{\dot{\Omega}}$  ,主 调节口的  $I_{\mathbb{R}}$  是某一补偿电流或某一位号电流。

自动跟踪后理图如图 5-1 所示。



$$I_{\text{H}} = I_{\text{RR}} \frac{K \delta_{\text{P}}}{1 + K \delta_{\text{P}}} + \Delta I_{\text{A}} \frac{K}{1 + K \delta_{\text{P}}}$$

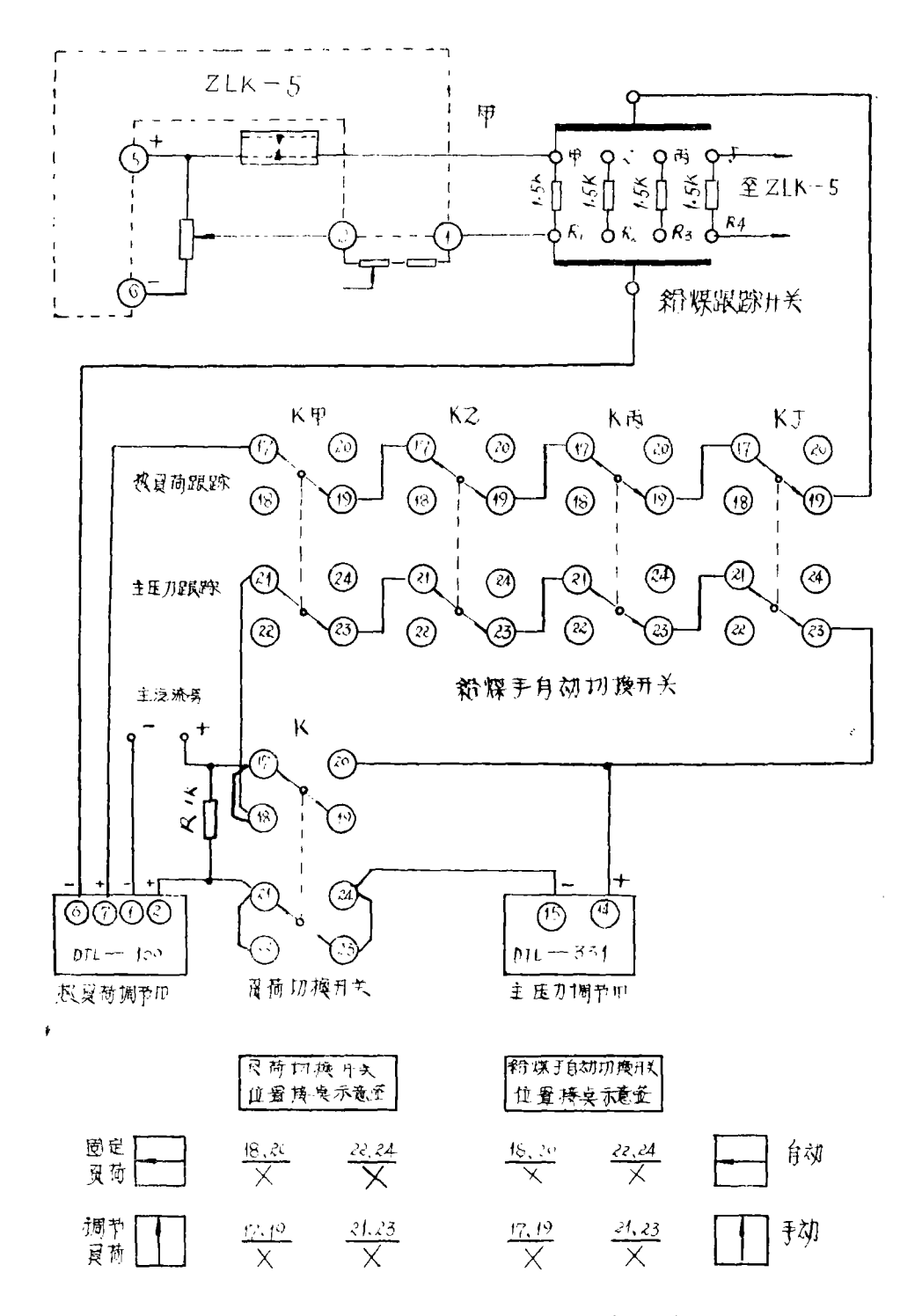


图5-2 主压力、热负荷调节口跟踪尼理图

当 
$$K\delta_{r} \gg 1$$
时,  $I_{HI} = I_{PI} + \Delta I_{A} - \frac{1}{\delta_{r}}$  当  $\Delta I_{A} = 0$ 时,  $I_{HI} = I_{III}$ 

上式符合自动跟踪要求。

上式说明,当被调景偏差为零时,调节口轨出  $I_{th} = I_{th}$ ,这时投入自动,可实现手动—自动无扰动切换。

## (二)主压力和热负荷调节系统的自动跟踪

1. 热负荷调节口的跟踪线路如图 5—2 所示。热负荷调节系统在手操位置时,调节口轨出电流,跟踪ZLK—5 型转差离合口手操电流。从图上可看出,只有当四台给灶机的手动—自动开关全部放在手动位置时,跟踪才起作用。我厂每台锅炉有四台给灶机,平时并不是四台全部投入运行,而且每台么灶机出力不同,因此每台给灶机转速也不相同,所以加装了给灶跟踪选择开关,跟踪哪一台,由运行人员视具体传况自行选择。跟踪的一台投入自动后,如果还要投入另一台,这时由于跟踪已不起作用,运行人员须将该台给灶机的手操电流调到与调节口轨出电流 I出 相等才能投入自动。

在这里必须指出,有些厂可能是几台给灶机或给粉机以同一转速运行,所以可以通过调节同步口手操电流达到几台同步运行,此时,热负荷调节口可以跟踪同步口手操电流。

#### 2. 主压力调节口的跟踪

前百讲过,在串级调节系统中,主调节四可以跟踪某一位号电流,付调节四跟踪阀位电流。所以在带有主压力校正的热负荷调节系统中,热负荷调节四是付调节四,跟踪给灶机手操电流(相当于执行机构阀位电流)。而母管压力调节四是主调节四,不论锅炉带调节负荷或固定负荷,它始终跟踪蒸汽流务变送四轨出电流。

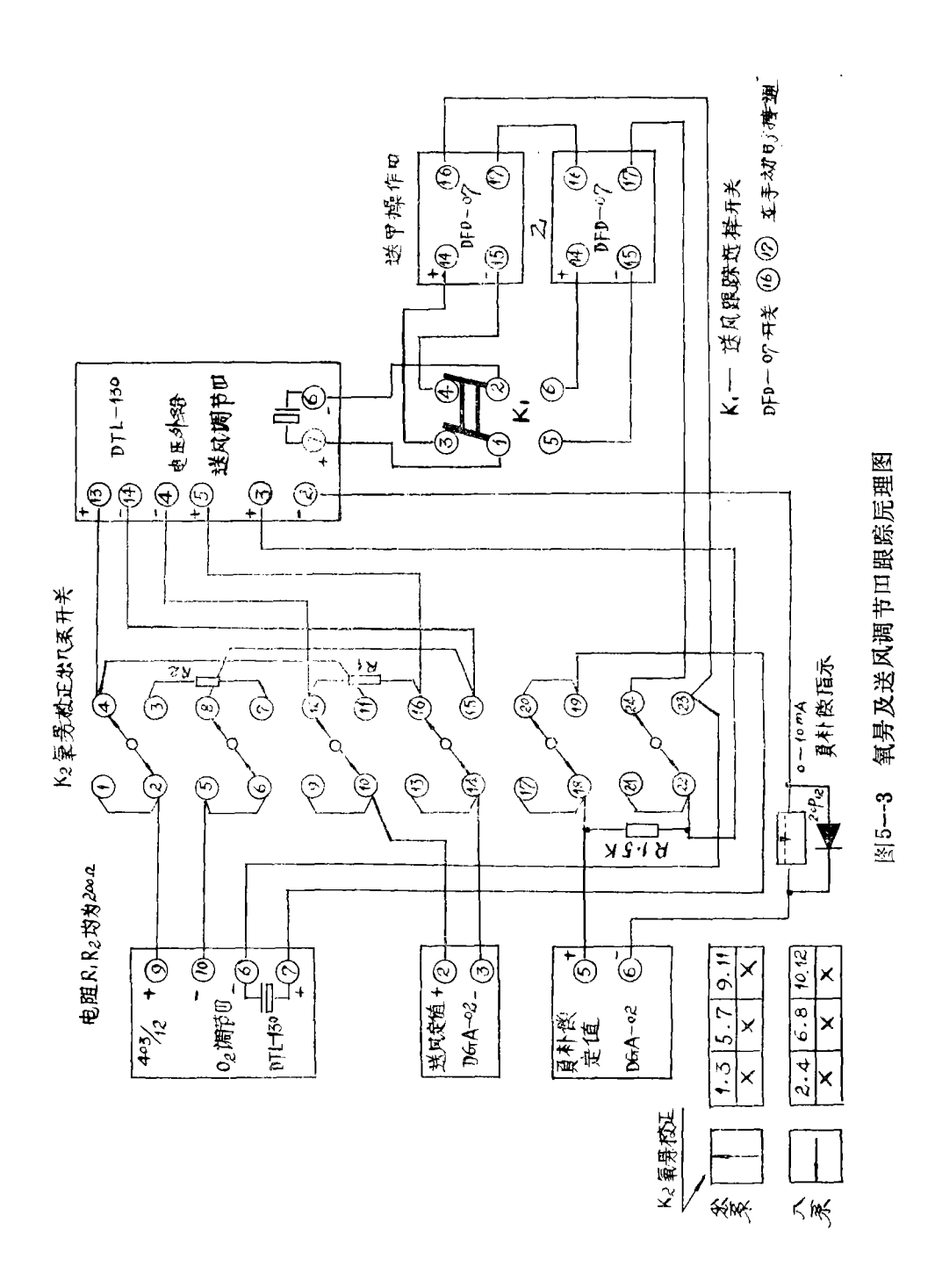
主压力调节口的跟踪线路如图 5—2 所示。跟踪电压经过固定、调节负荷切换开关K和四台给灶机手动切换开关 K甲, KZ, K丙, K丁加至DTL—331④、⑥端子, 以实现主调节口的自动跟踪。从图 5—2 上可看出,当锅炉带调节负荷时(负荷切换开关在调节负荷位置),只有给灶手动自动切换开关全部在手操位置,才能实现主调节口的自动跟踪。

在这里必须指出,由于我厂只有二台锅炉,所以一台带调节,一台带固定负荷,而且装了二台主压力调节口,无须装置主压力跟踪选择开关,如有二台以上锅炉就需要加装主压力 跟踪选择开关。主调节口跟踪带调节负荷的锅炉的蒸汽流景位号。

#### (三)送风自动调节系统的自动跟踪

#### 1. 送风调节口和引风调节口的跟踪

送风调节田的跟踪线路如图 5—3 所以。送风调节田的跟踪仗导为送风执行机构的 位置指示电流 I位,由于送风执行机构有二台,而自动跟踪只能跟一台风机执行机构。我厂一台锅炉有二组送风机,假如二组风机长期同时运行,那么跟踪任何一组风机的执行机构位置指示电流 I位 都可以。但是,为了节约厂用电,我厂平时总是运行一组风机,二组风机轮换运行的机会相同,因此,如果自动跟踪固定在甲组风机,则运行乙组风机时投入送风调节系统就无自动跟踪,(当然,热工人员可以立即把跟踪线路换到乙组,但实际上太麻烦了)。同样,



把自动跟踪固定在乙年风机传况一样,所以,为了根据运行传况,可以任意选择跟踪甲组或乙组风机执行机构的位置指示电流 I位,加装了自动跟踪选择开关。引风调节田的跟踪线路与风景调节田的跟踪线路相同。

#### 2. 氧另调节口的跟踪

氧号调节口的跟踪线路亦如图 5—3 所示。带有氧号校正的送风调节系统是一串级调节系统,送风调节口是付调节口,跟踪送风机挡板位置位号,而氧号调节口是主调节口,它没有直接的执行机构,调节口在未投入自动时,跟踪一个5毫安的补偿位号。在送风手动、自动切换开关在手动位置时,不论氧号出人系开关在出系或入系位置,始终跟踪5毫安补偿位号。

(四)锅炉燃烧自动调节系统的保护

为了防止变送口和调节口突然失灵,引起给灶机转速、引风或送风调节挡板 大 幅 度 动作,因此在调节口出口加装了DFF—01 限幅报警口,作为给灶机转速和送引风挡板上下限位和报警之用。

为适应负荷变化的需要,上下限幅值不能调得过狭,但在送引风系统中,任何送引风调节挡板的过调,都会使炉膛负压、风景等参数超越正常运行范围,对锅炉安全运行造成很大的威胁。因此我们又加装了一套氧景、炉膛负压参数保护装置,氧景、炉膛负压参数保护线

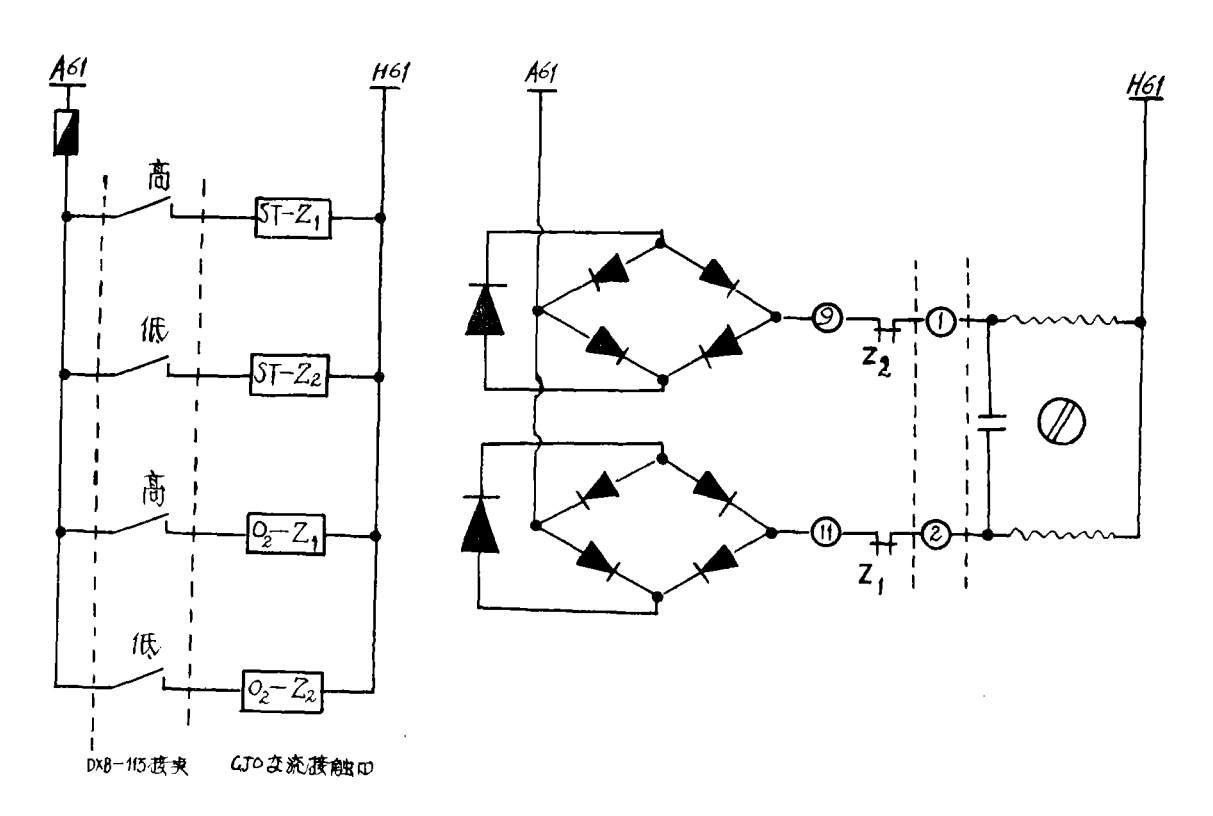


图5-4 负压氧另参数保护后理图

路图如图 5—4 所示。当氧号与负压指示值超越正常运行范围,通过 DXB—113 去动作CJO 交流接触回,及时切断磁放大口到执行机构电机电流,使执行机构不动作;同时发出声光讯号。当氧号或负压指示值恢复正常,自动恢复功能,声光仗号消失,这样大大提高了自动调节系统的可靠性,保证了锅炉安全运行。

# 六、使用情况和效果

- (一)我厂锅炉燃烧自动和汽轮发电机功率自动投入,使用约有二年余,基本上满足了安全经济发电需要。在投用过程中曾迁到过不少问题,发生过异常情况,有下列几点体会:
- 1. 要搞好自动,必须确保安全。1975年燃烧自动投入过程中,曾因自动手操切换开关接触不良使给灶机关至零而引起锅炉熄火,后来将切换开关换用DFD—07型,并换去了故障较多的老产品执行机构等,提高了调节设备的可靠性,加装了限幅报警和参数保护装置以提高调节系统的可靠性。对热工人员及运行人员进行技术培训,制订热工自动运行规程,做到正确使用自动控制。
- 2. 必须提高调节质景,做到经济运行。自动投入后,如果调节质景仍与手操相似,不能显示出自动的优点,还是不能巩固。要提高调节质量,必须做好调整试验,改进调节设备和系统。我厂经过十几次改进,一百多次试验,采用了氧化锆氧量表,加装了功率自动调节。做到了自动调节时,锅炉蒸汽压力、温度、烟气含氧量、发电机功率能在指定的数值较定地运行。
- 3. 必须加强对设备的维多,提高设备健康水平。自动调节投入后,不仅对 仪 表 及 调节设备的要求提高了,还要做好定期维护、检查工作,及时消除缺陷,而且对发电主辅设备 也要保持良好。我厂迂到的问题是磨灶机出力不足,形响调节质量。车间加强了检多,保证了磨灶机的出力。 2 号机调速油压低,同步口接近开足,限幅口经常动作形响调节质量,汽机调速班奋战二天二夜,解决了这个问题。所以要搞好自动不仅须解决调节设备问题,还须要解决主辅设备的有关问题。
- (二)从一些运行情况和试验数据对比,自动投入后在安全经济满发方百取得了良好效果。大体情况如下(由于数据不全还不够准确):
- 1. 省灶节电,提高机组效率。燃烧自动投入后由于蒸汽压力、温度波动减小,接近限 额运行,因而过热口出口压力平均提高 0.5 公斤/厘米²,温度平均提高 3 ℃,因此汽轮机汽 耗可降低约 0.4 %,风量自动投入前,风灶配合改善,燃烧良好,减少了不完全燃烧损失和排烟热损失。根据锅炉效率试验,投入自动后比手操时提高效率约 0.5 %。
  - 2. 保持机组满发。功率自动投入后,由于功率波动减小,负荷率提高约1%。
- 3. 减轻劳动强度。投用自动后,由调节装置代替人工操作,运行人员不再需要进行频繁的操作,减轻了劳动强度,可进一步提高劳动生产率。